

Introductory course of

Topological materials :

Topological materials and response



중시계 여름학교
2024. 05. 25.

박문집
한양대학교 물리학과

한양대학교
HANYANG UNIVERSITY

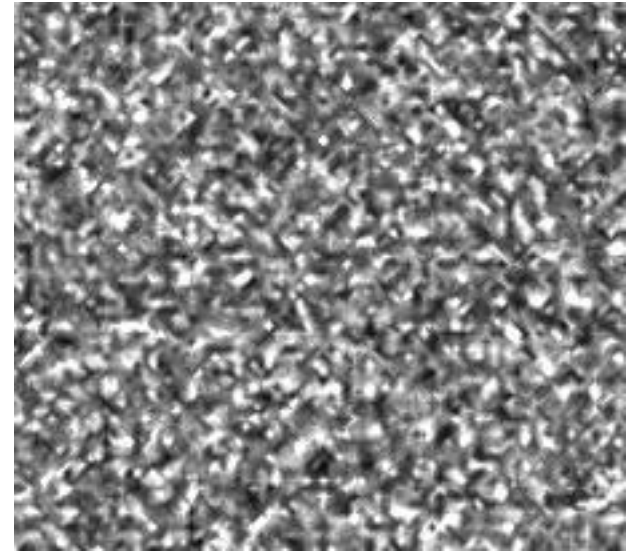
More is different



Philip W. Anderson

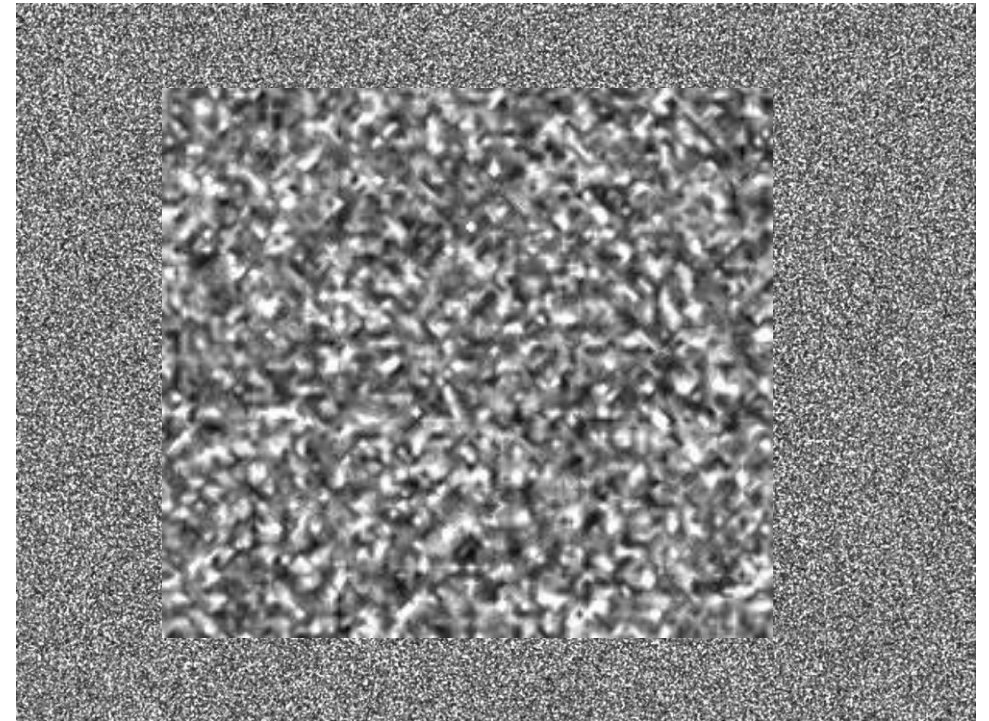
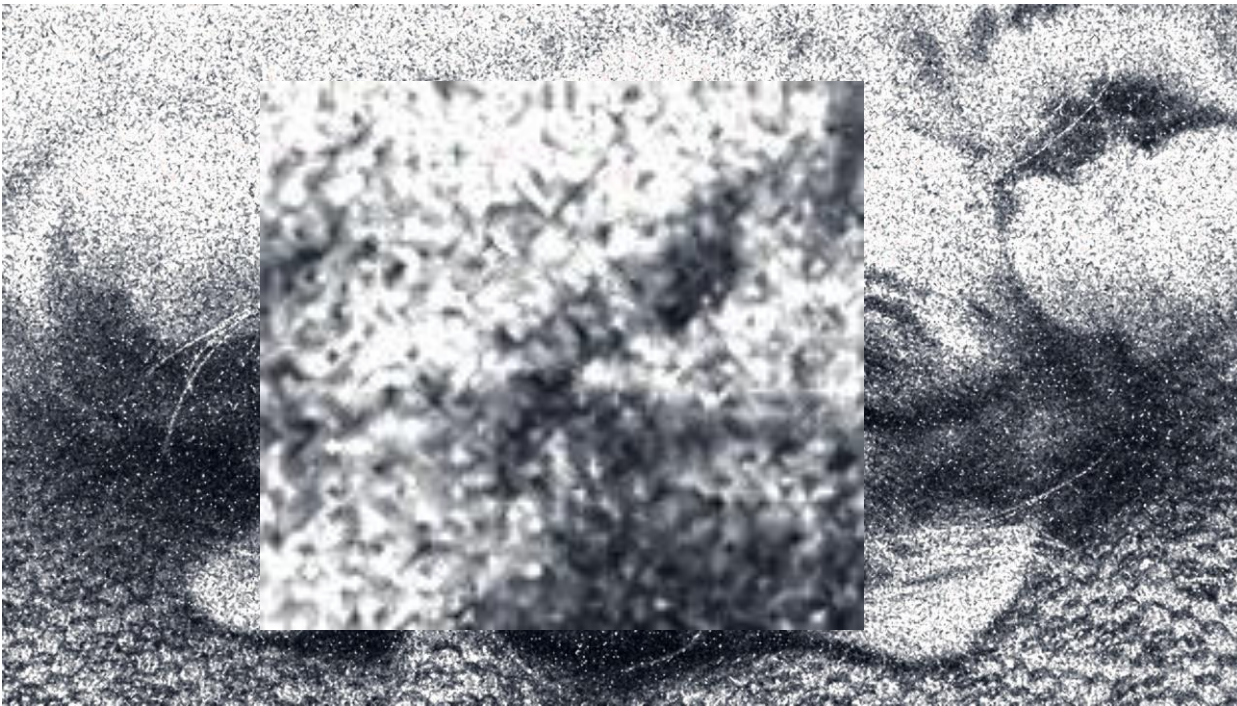
More is different

- Everything is made up of the same atoms and electrons at short length scales.
- Different correlations and patterns can emerge at longer length scales.



More is different

- Everything is made up of the same atoms and electrons at short length scales.
- Different correlations and patterns can emerge at longer length scales.



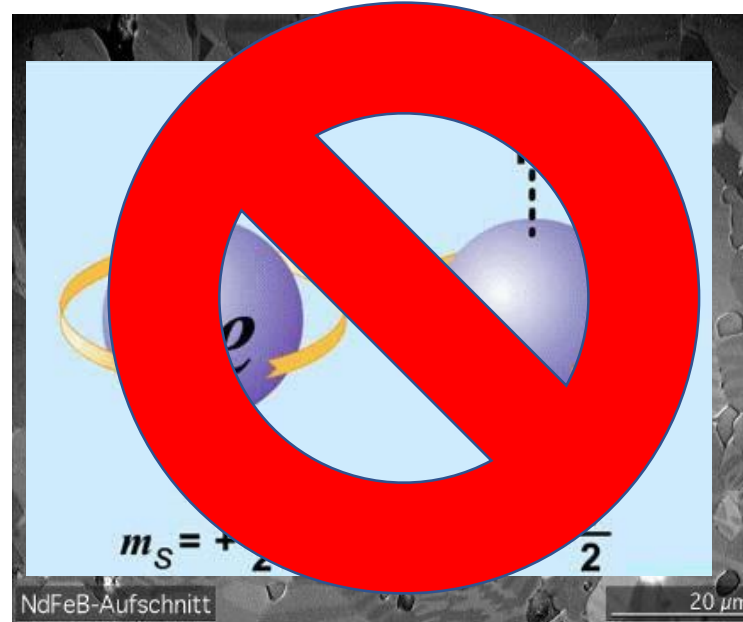
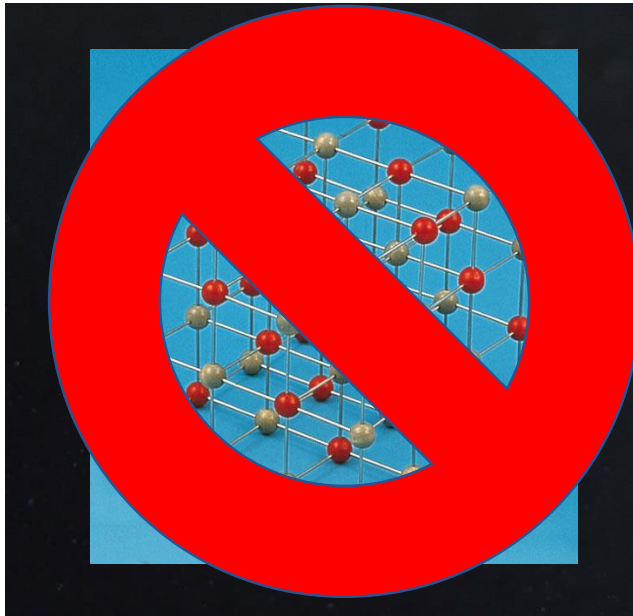
Physics of ~~local~~ correlations

Non-local

Solid state
lattice

Magnetic
Domains

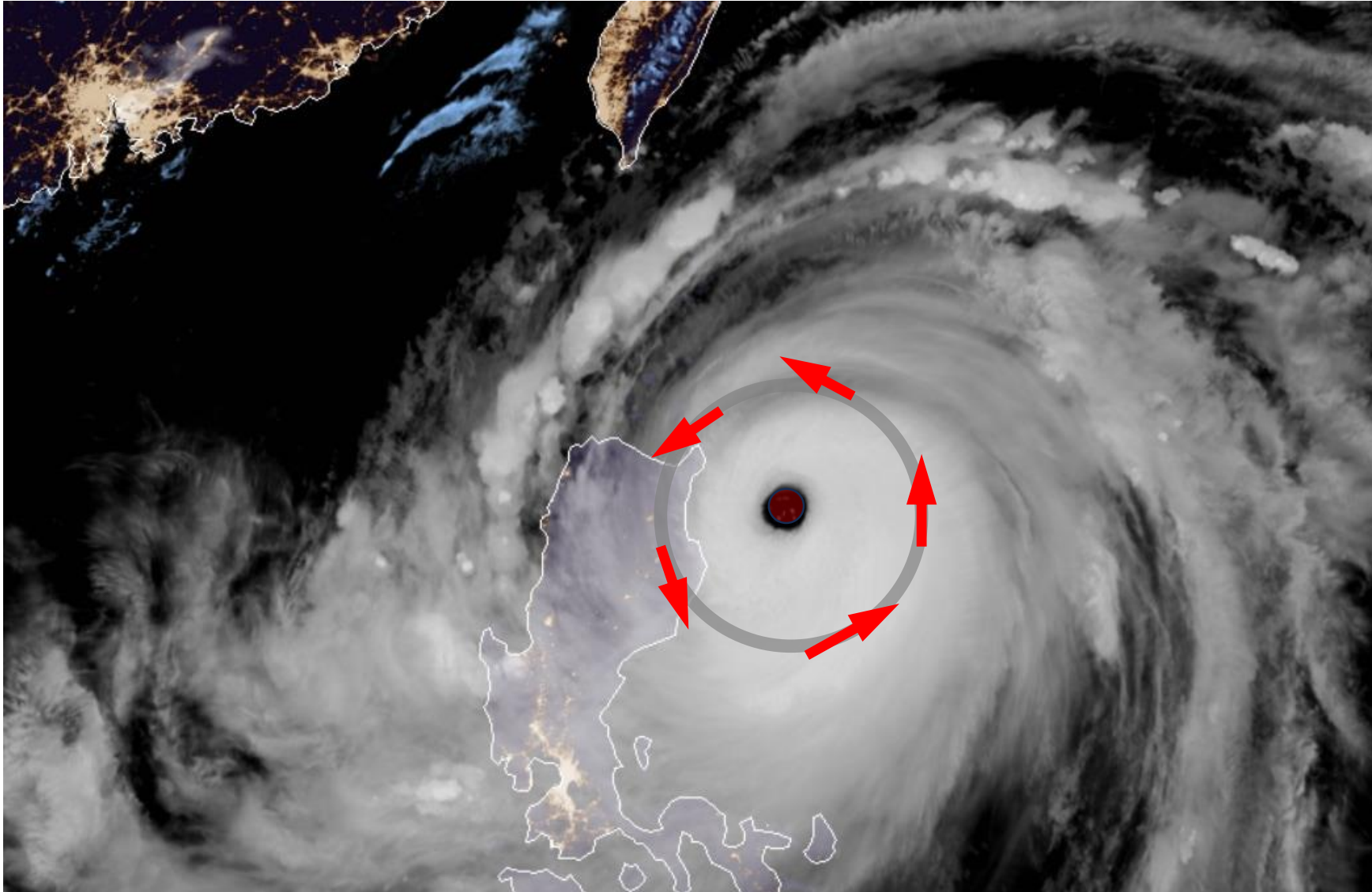
Self-
organization



Paradigm of Landau theory:

Patterns/Correlations of local order parameters determines the phases of matters.

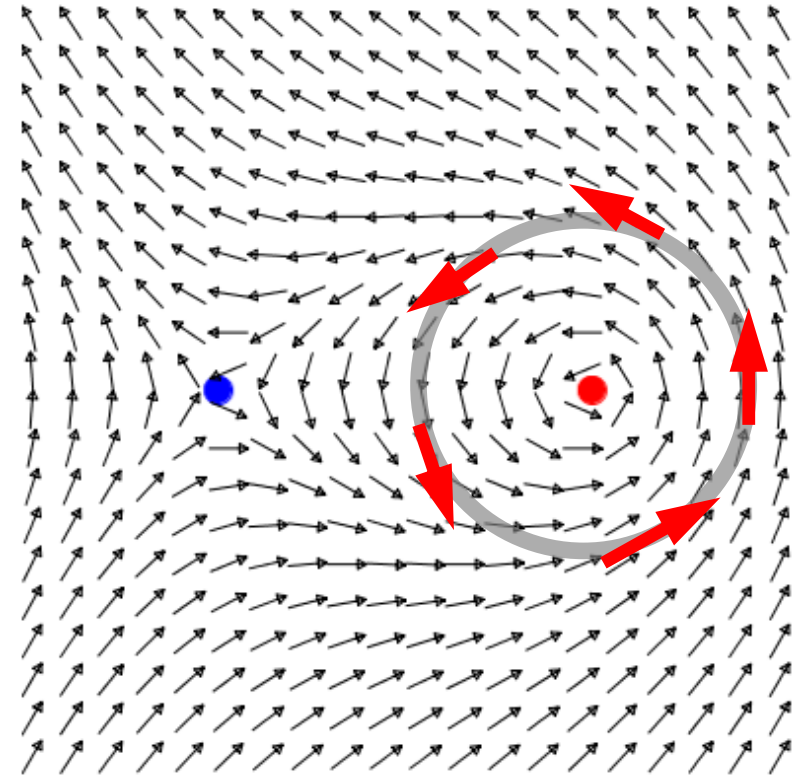
Vortex



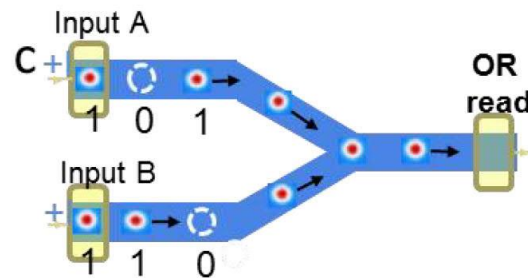
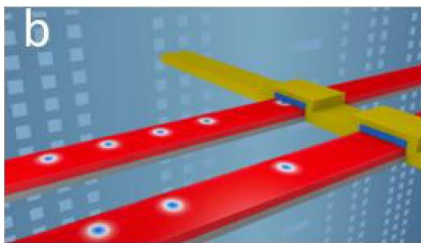
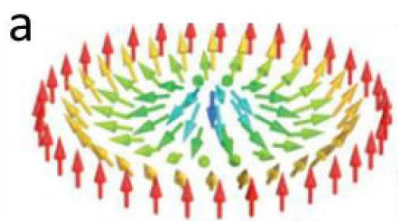
Vortex



➤ Vortex in spin model



➤ 스커미온 스핀트로닉스



$$H = - \sum_{\langle ij \rangle} \cos(\theta_i - \theta_j)$$

What is topological insulator?

Phenomenological level

Topological boundary mode (Bulk-Boundary correspondence)

Theoretical level

Topological invariant
(Chern insulator, Z_2 insulator)

Material level

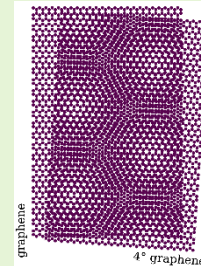
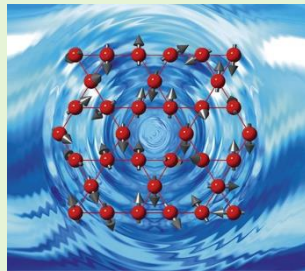
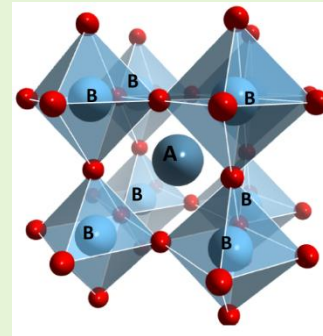
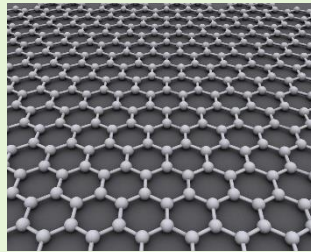
Graphene, HgTe, Bi₂Se₃

Experimental level

Quantum Hall effect, Chiral anomaly, Axion E&M

What is response to theorist?

STM Tip



Contact

Contact

Outline

- 1D TI

- 2D TI

- 3D TI

- 2D TM

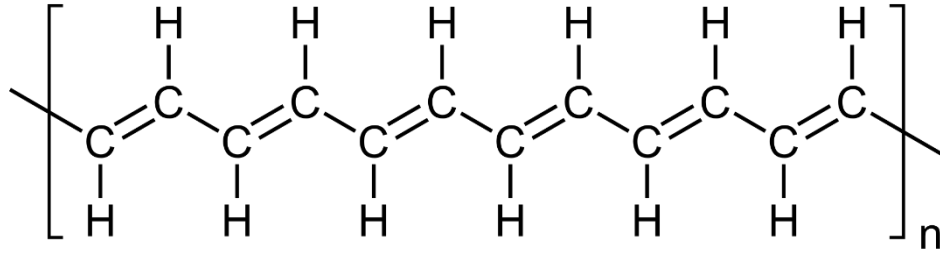
- 3D TM

1D TI

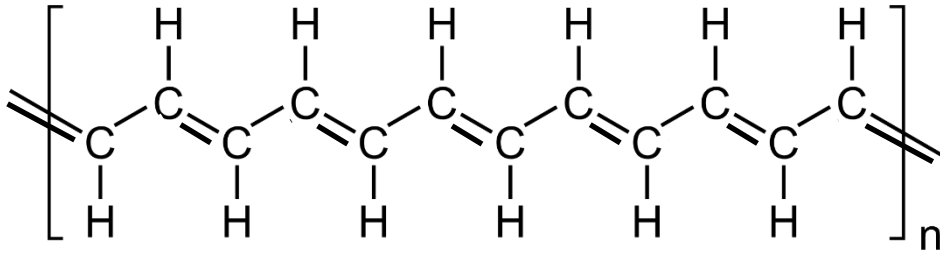
위상학적 결함

➤ Chemist's view

Case I :



Case II :

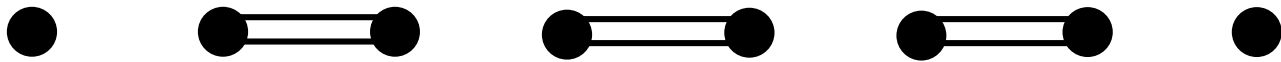


➤ Physicist's view

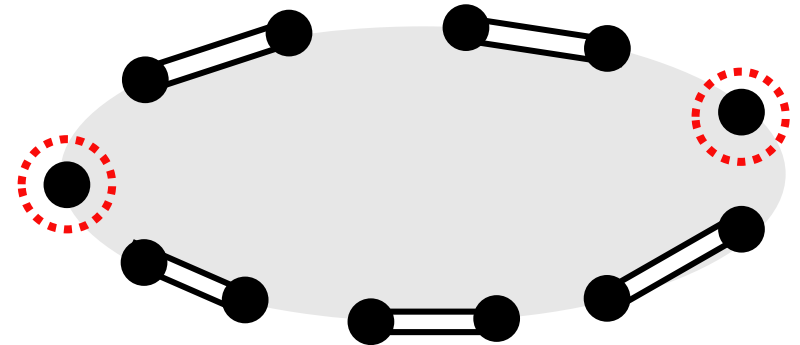
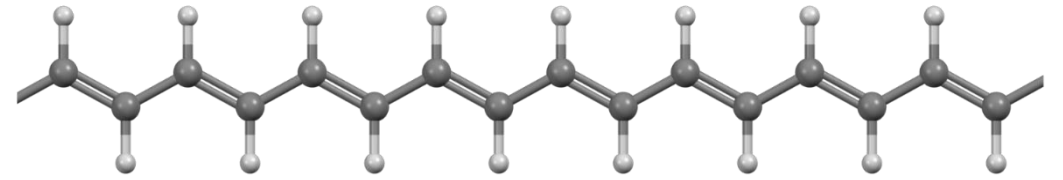
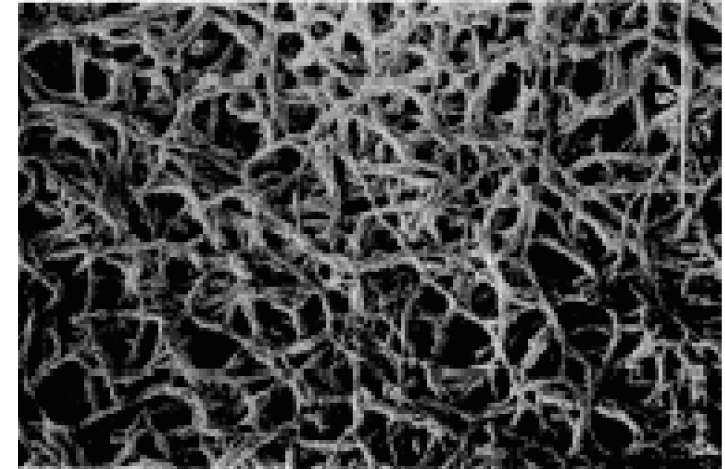
Case I :



Case II :

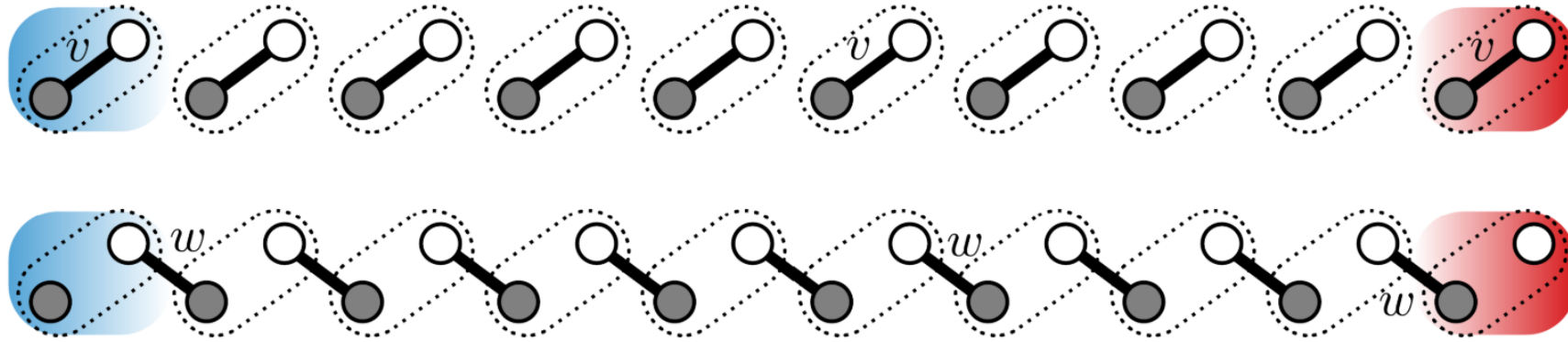


➤ 현미경으로 본 이미지

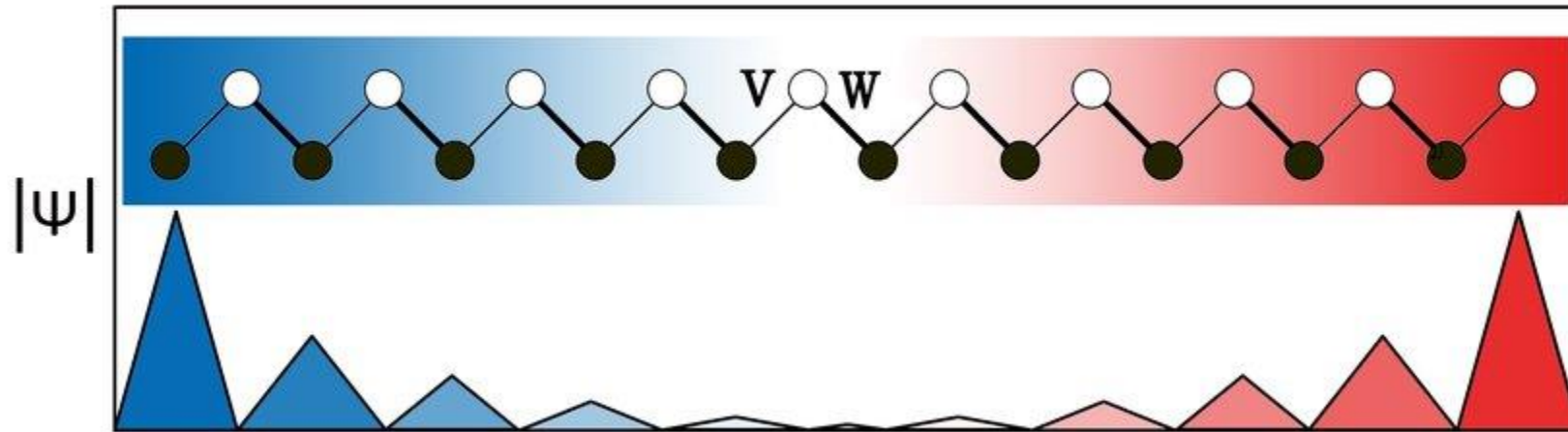


Su-Schrieffer-Heeger model

➤ Real space coupling patterns



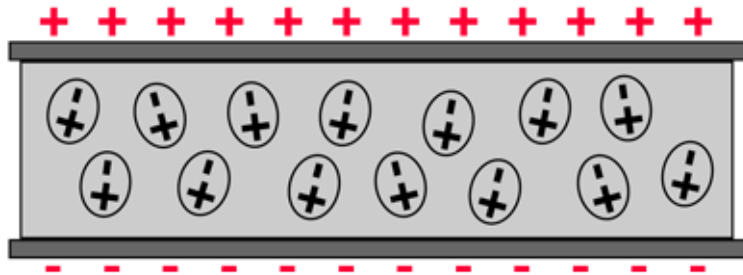
➤ Topological edge state



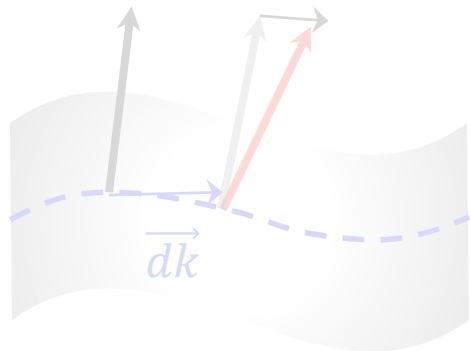
전하 편극밀도와 베리 위상

➤ 전하 편극밀도

Classical polarization



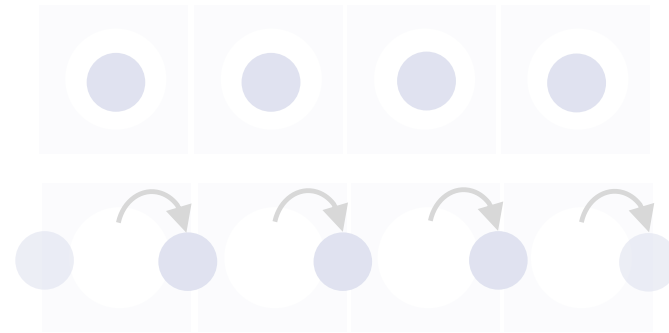
$$P = \sum_i q_i r_i$$



$$A = \langle \psi | \nabla_k | \psi \rangle$$

베리 위상

Quantum polarization



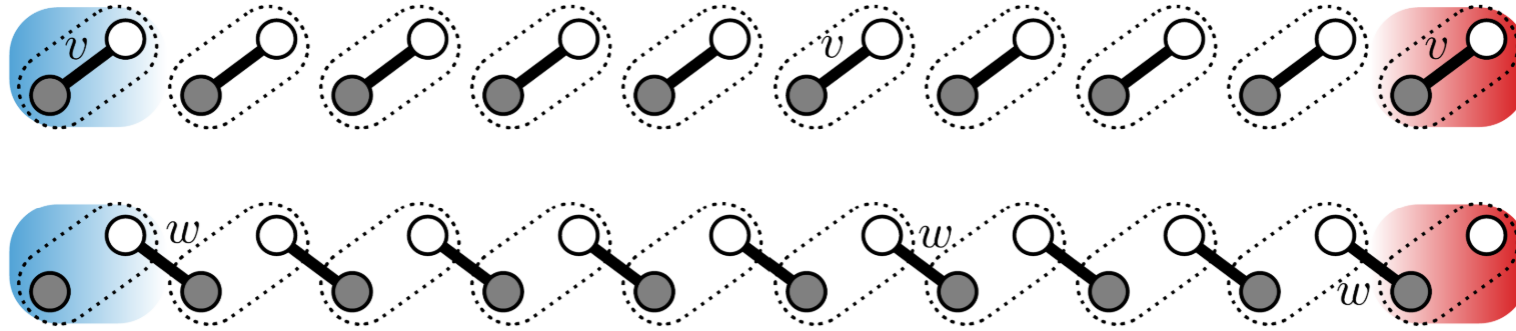
$$P = \frac{e}{(2\pi)^3} \oint dr \langle \psi | r | \psi \rangle$$

$$= \frac{e}{(2\pi)^3} \oint dk \langle \psi | \nabla_k | \psi \rangle$$

$$k = -i \frac{\partial}{\partial x}, \quad x = i \frac{\partial}{\partial k}$$

양자물질의 편극밀도는 베리위상과 같다.

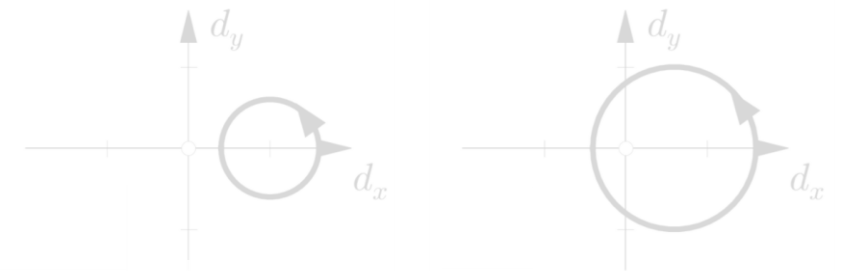
SSH 모델의 베리위상



➤ 실공간 해밀토니안

$$H = v \sum_{m=1}^N (|m, A\rangle\langle m, B| + \text{h.c.}) + w \sum_{m=1}^{N-1} (|m+1, A\rangle\langle m, B| + \text{h.c.})$$

$$\nu = 0 \text{ if } v > w, \nu = 1 \text{ if } v < w$$



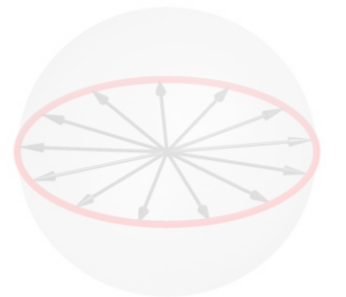
➤ 운동량-공간 해밀토니안

$$H(k) = \begin{pmatrix} 0 & v + we^{-ik} \\ v + we^{ik} & 0 \end{pmatrix}$$



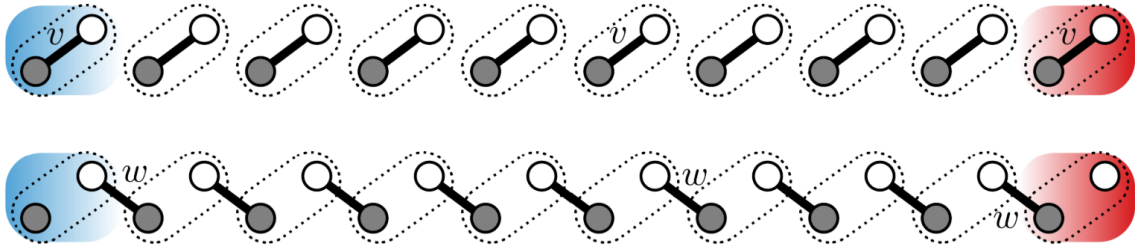
$$H(k) = d_x(k)\sigma_x + d_y(k)\sigma_y + d_z(k)\sigma_z$$

$$d_x(k) = v + w \cos k, d_y(k) = w \sin k$$



SSH model은 위상학적 감김수(전하편극밀도)가 양자화 되어있다.

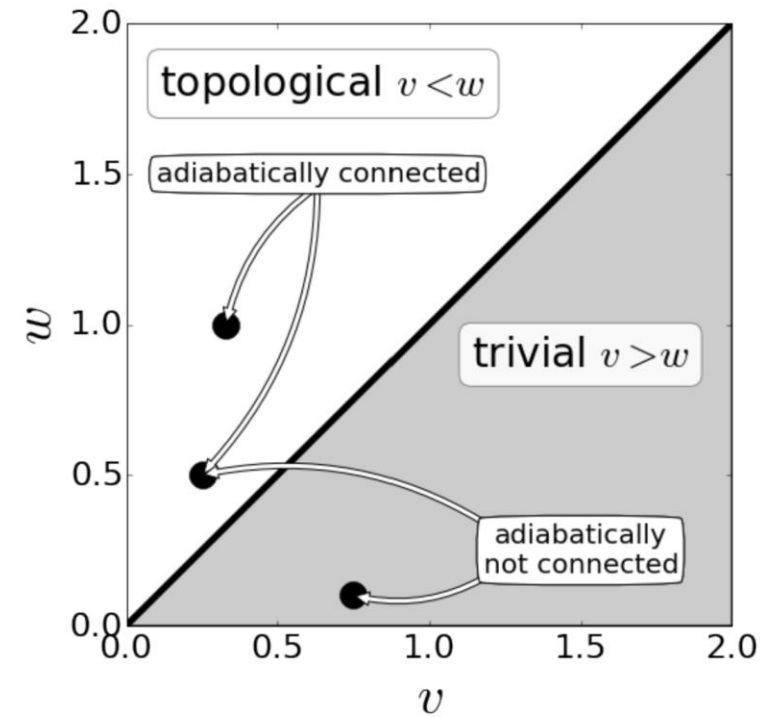
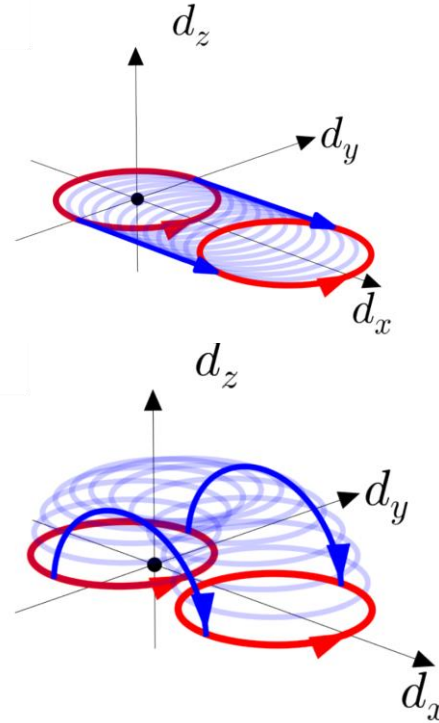
SSH 모델의 베리위상



운동량-공간 해밀토니안

$$H(k) = d_x(k)\sigma_x + d_y(k)\sigma_y + d_z(k)\sigma_z$$

$$d_x(k) = v + w \cos k, \quad d_y(k) = w \sin k$$



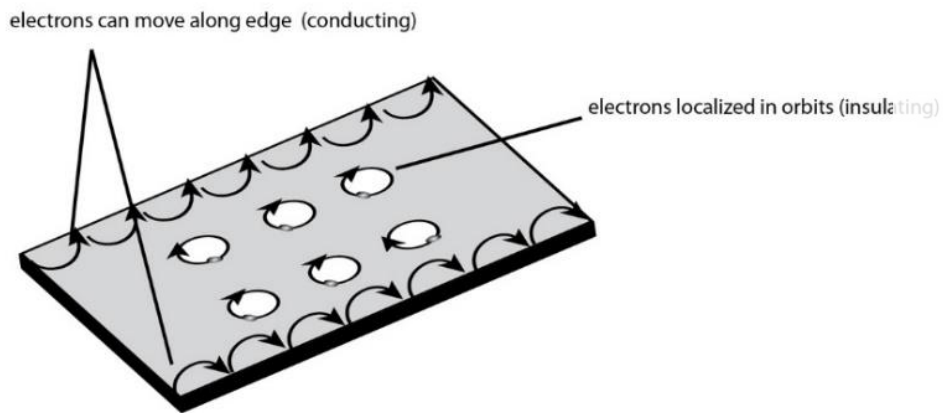
1. 위상학적 상전이는 밴드갭 닫힘(금속)을 동반한다.

2. 대칭성(대칭성 깨짐)은 종종 위상학적 상을 보호(파괴)한다.

2D IQHE

자기장하에서 2차원 전자의 운동

Classical cyclotron orbit



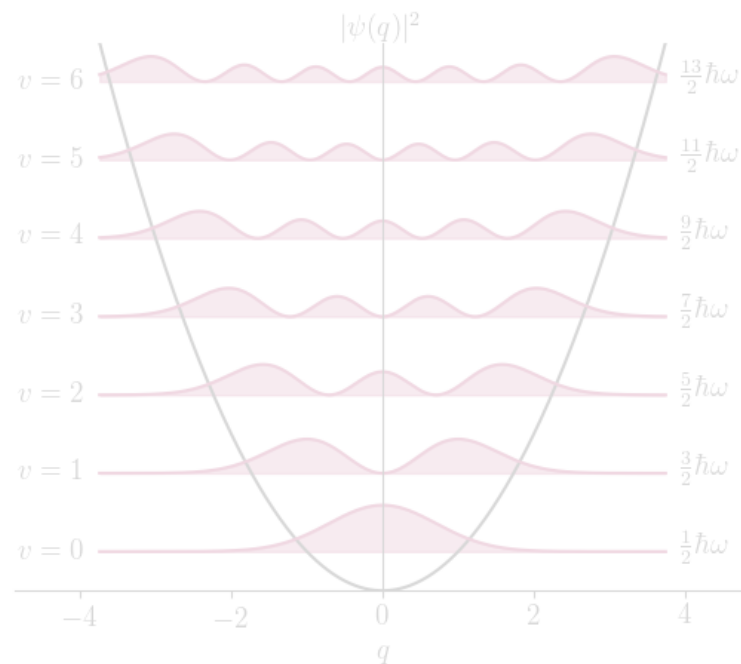
$$\frac{mv^2}{R} = \frac{qvB}{c}$$

$$R = \frac{mvc}{qB}$$

원심력 로렌츠힘

$$\omega_c = \frac{eB}{mc}$$

Quantum cyclotron orbit (Landau level)



$$E_n = \left(n + \frac{1}{2}\right) \hbar\omega_c$$

$$\mathcal{H} = \frac{1}{2m} \left(\vec{p} - \frac{e\vec{A}}{c}\right)^2 \quad H = \frac{p_x^2}{2m} + \frac{1}{2} \frac{B^2 e^2}{m} \left(x - \frac{p_y}{Be}\right)^2$$

$$\vec{A} = Bx\hat{j}$$

자기장내에서 2차원 전자 에너지는 양자화 되어 있다.

정수 양자홀 효과

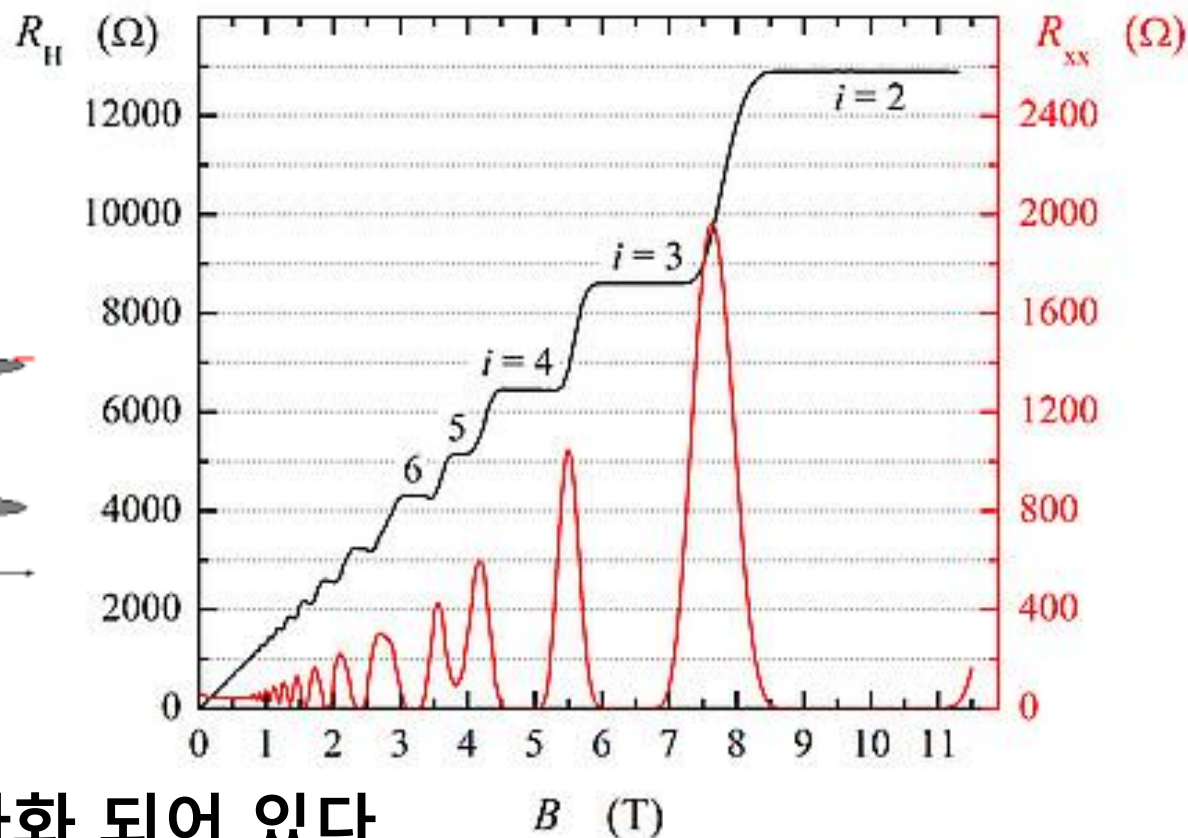
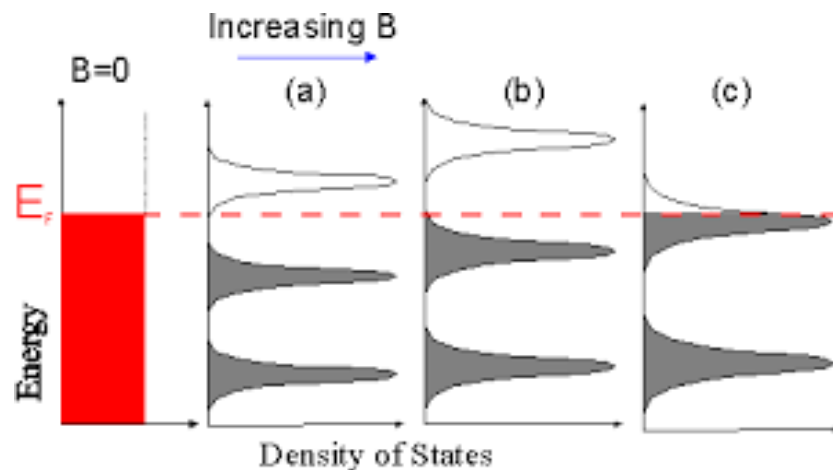
➤ Quantized Hall conductance

➤ Vanishing Longitudinal conductance

클라우스 폰 클리칭



출생 1943년 6월 28일(80세)
나치 독일 (오늘날 폴란드) 비엘코폴스카주
시로다비엘코폴스카(폴란드어: Środa
Wielkopolska)
국적 독일
주요 업적 양자 홀 효과
수상 노벨 물리학상 (1985)
분야 물리학



양자물질의 홀전도도는 양자화 되어 있다.

Quantum anomalous Hall effect (QAHE)

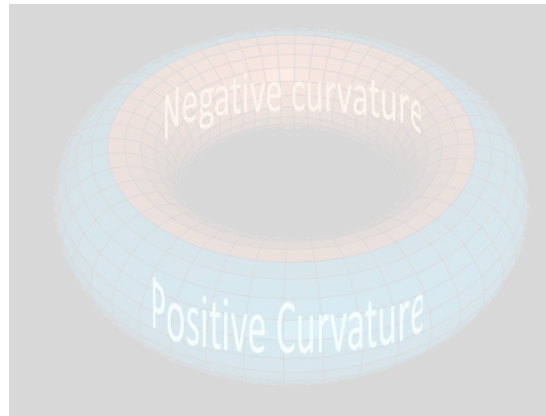
➤ TKNN formula :

$$\sigma_{xy} = \frac{e^2}{h} \int_{\text{BZ}} \frac{d^2k}{(2\pi)^2} f(\mathbf{k}) \Omega(\mathbf{k})$$

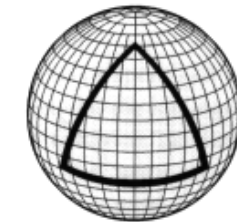
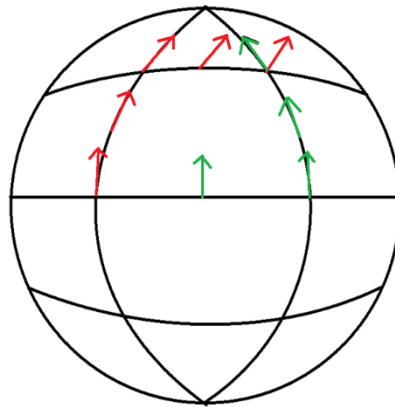
$$\Omega(\mathbf{k}) = \langle u(\mathbf{k}) | \partial_x \partial_y | u(\mathbf{k}) \rangle$$

↖
Berry curvature

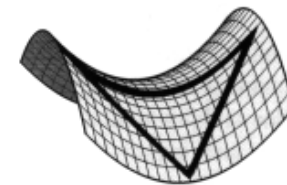
Gauss-Bonnet theorem :



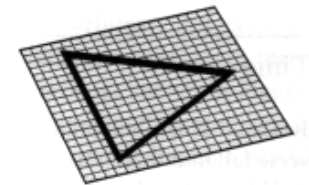
$$\int_M K dA = 2\pi(2 - 2g)$$



Positive Curvature



Negative Curvature

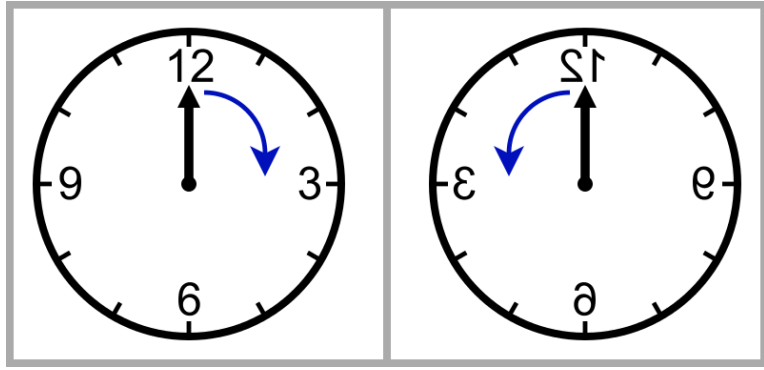


Flat Curvature

홀전도도는 파동함수의 위상학적 불변량으로 결정된다. (자기장이 필수는 아니다.)

시간-반전 대칭성

➤ Time-reversal symmetry:



$$Q \rightarrow Q$$

$$E \rightarrow E$$

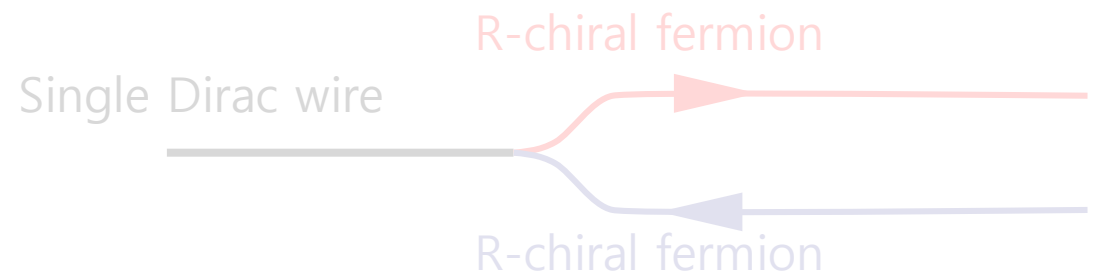
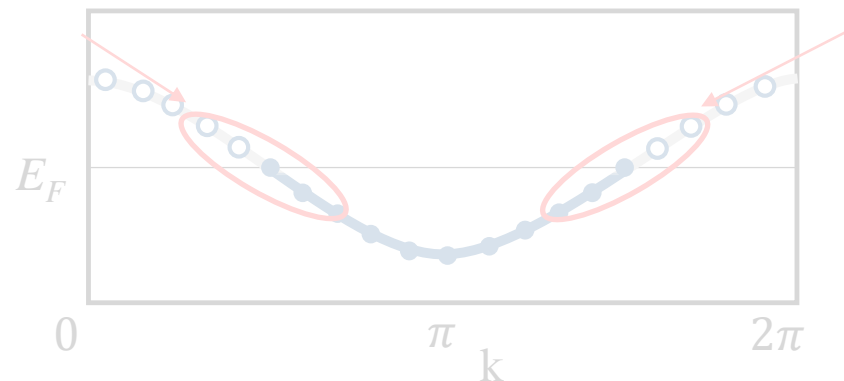
$$I = \frac{\partial Q}{\partial t} \rightarrow -I$$

$$B \rightarrow -B$$

➤ 왼손잡이 입자, 오른손잡이 입자:

Left-moving fermion
(negative group velocity)

Right-moving fermion
(positive group velocity)



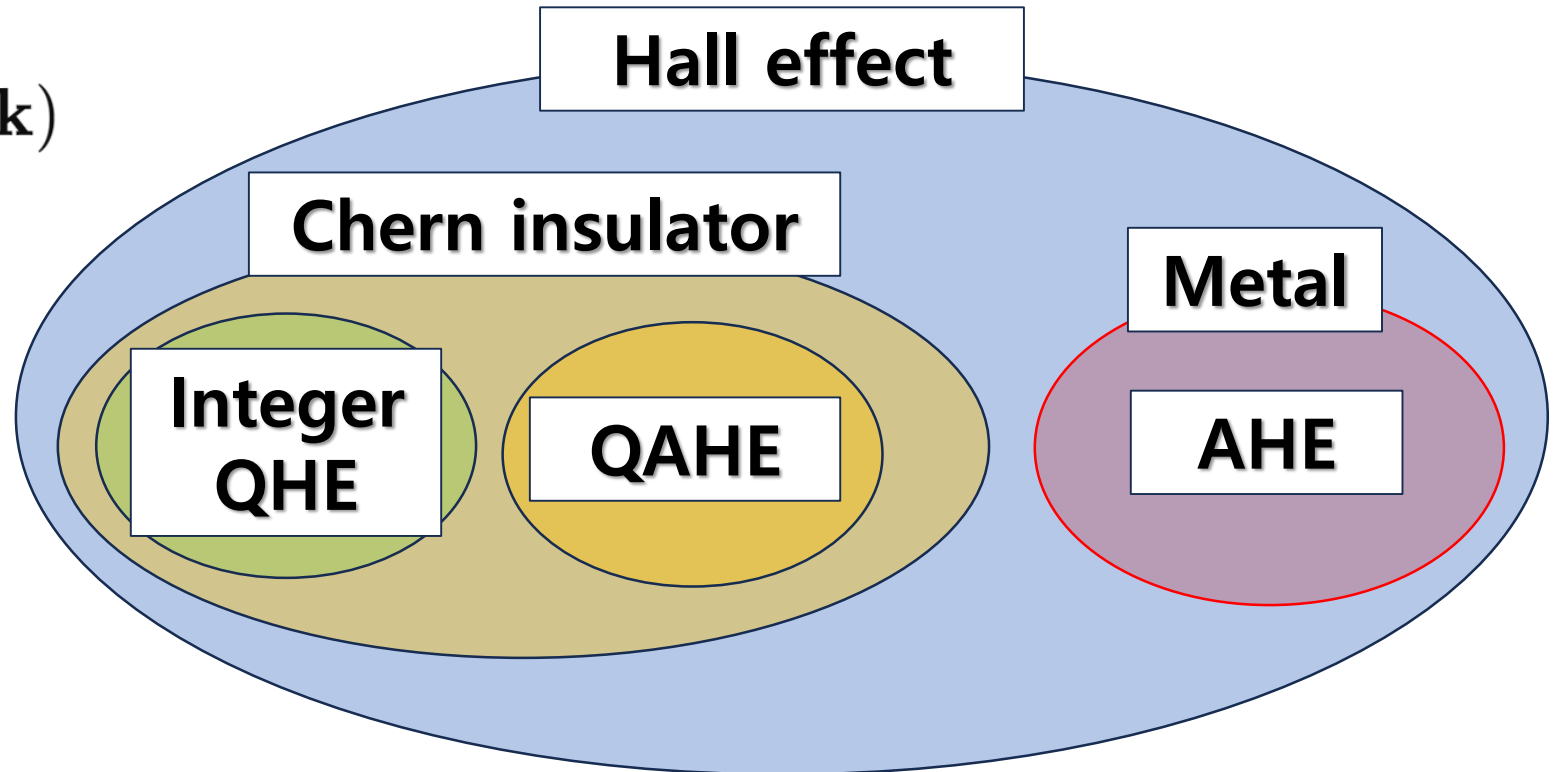
Quantum anomalous Hall effect (QAHE)

➤ TKNN formula :

$$\sigma_{xy} = \frac{e^2}{h} \int_{\text{BZ}} \frac{d^2k}{(2\pi)^2} f(\mathbf{k}) \Omega(\mathbf{k})$$

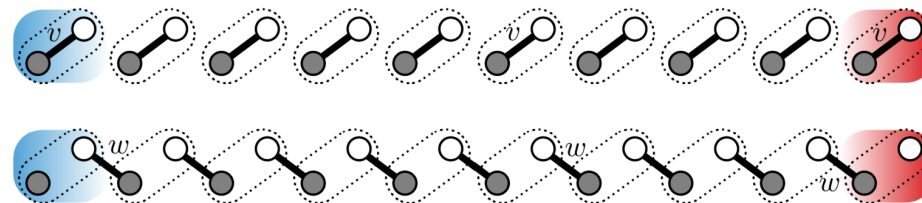
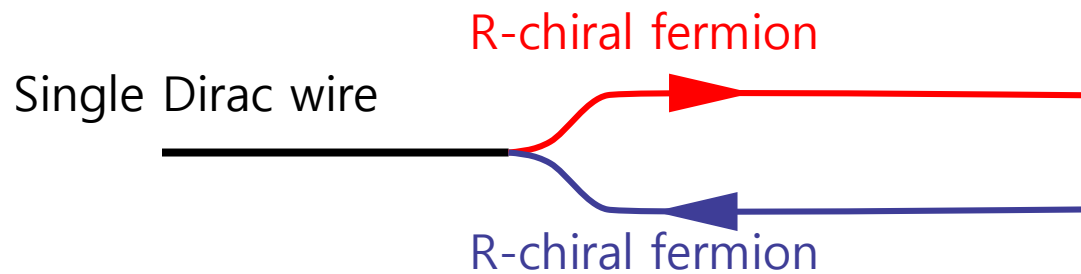
$$\Omega(\mathbf{k}) = \langle u(\mathbf{k}) | \partial_x \partial_y | u(\mathbf{k}) \rangle$$

Berry curvature

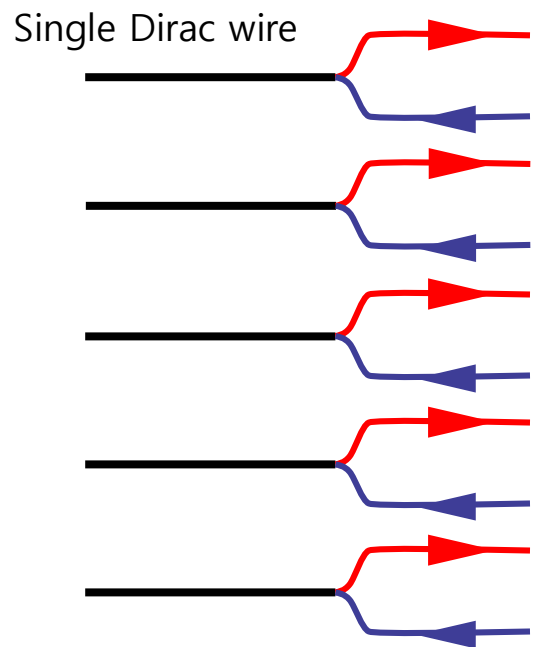


홀전도도는 파동함수의 위상학적 불변량으로 결정된다.

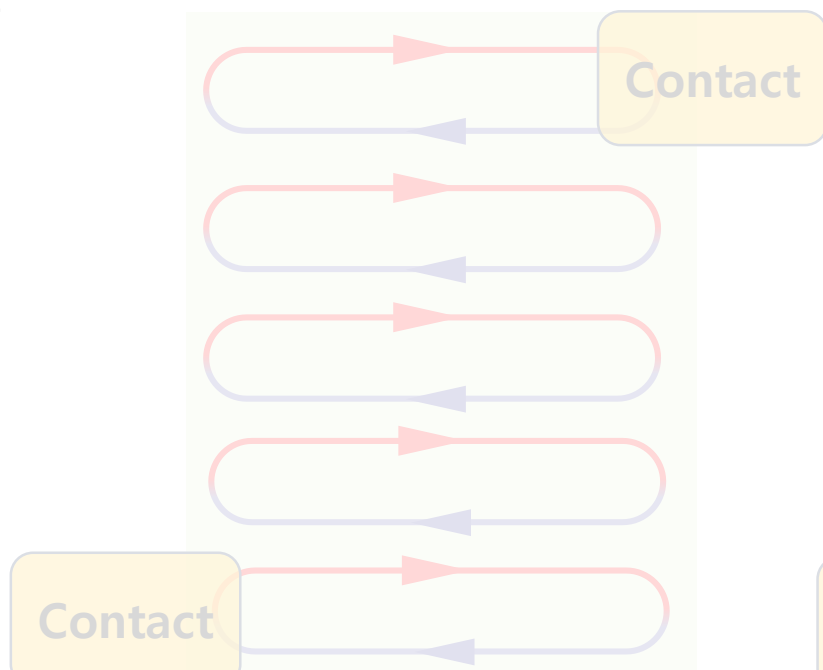
Coupled wire construction



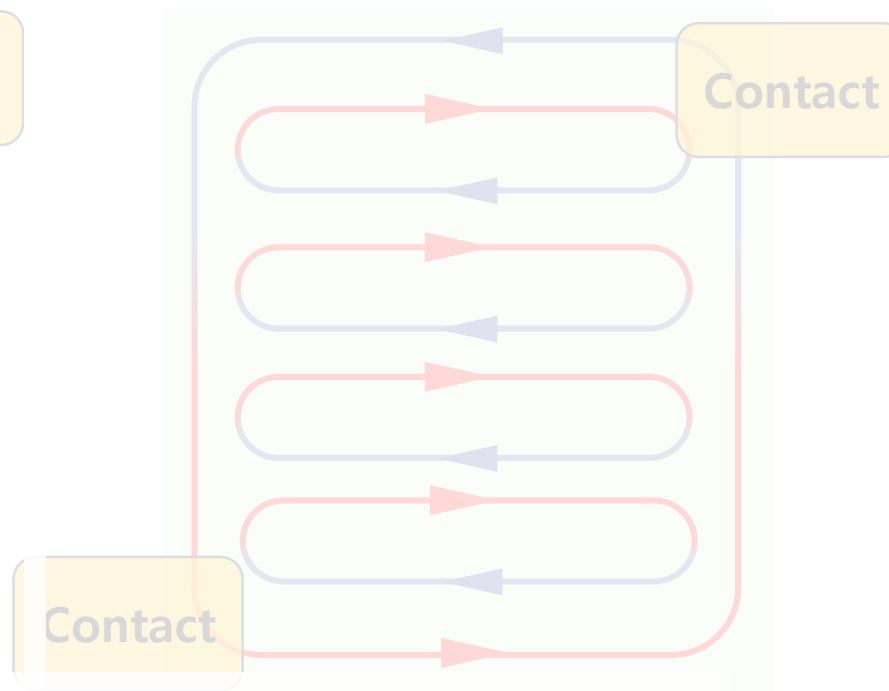
➤ 실공간 와이어 다발



➤ Trivial insulator



➤ Chern insulator



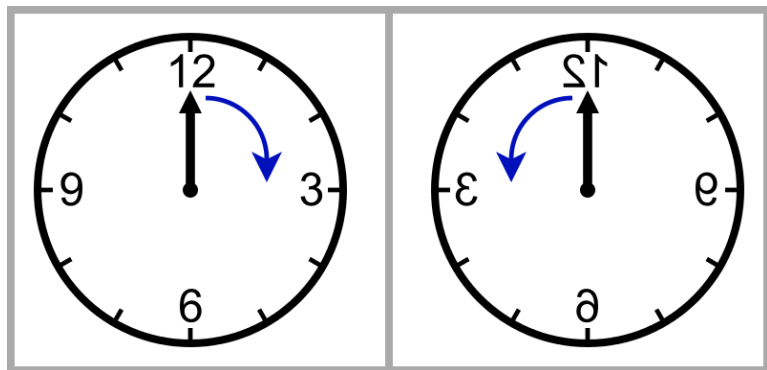
양자홀 효과는 시간반전대칭성 깨짐의 패턴이다.

양자홀 효과는 왼손지기 입자와 오른손지기 입자의 공간분리이다.

2D QSHE

양자 스핀 홀 효과

시간 반전 대칭성 깨짐은 양자홀 효과에 필수적인가? 일단 yes!



$$Q \rightarrow Q$$

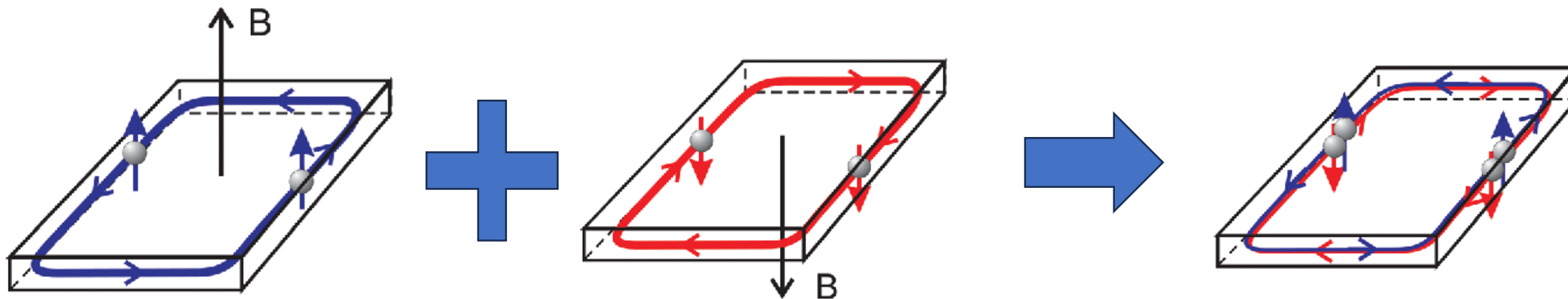
$$E \rightarrow E$$

$$I = \frac{\partial Q}{\partial t} \rightarrow -I \quad B \rightarrow -B$$



고려하지 않은 변수가 있나? 답 : 스핀

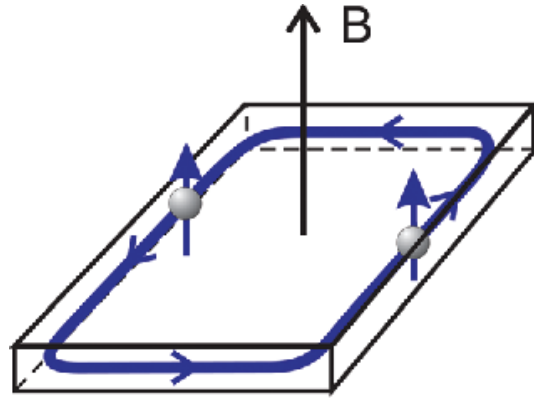
$$S \rightarrow -S$$



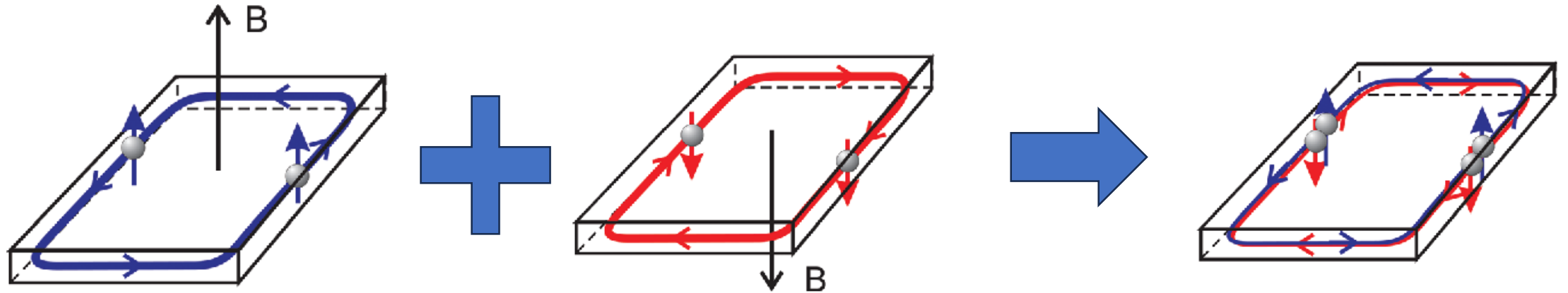
양자 스핀 홀 효과는 홀전도도는 0이지만 스핀 홀 전도도가 양자화된다.

Kane-Mele model

➤ 외부 자기장 ($L \cdot B$)



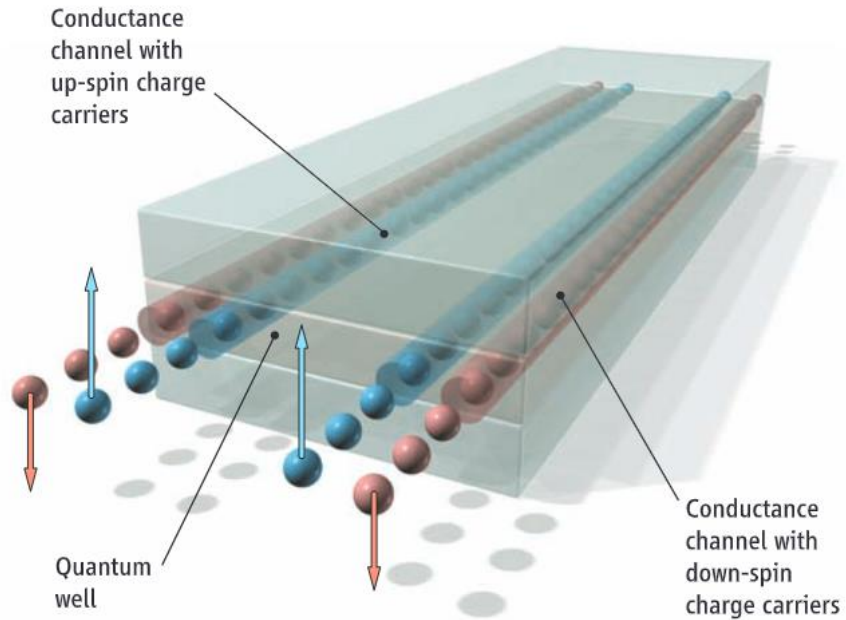
➤ 스핀-궤도 결합 ($L \cdot S$)



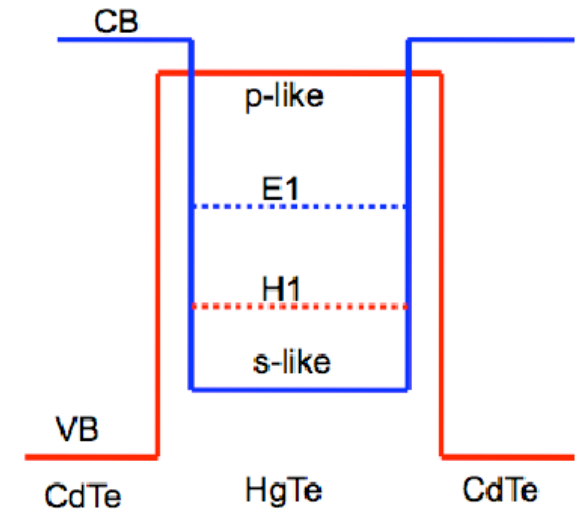
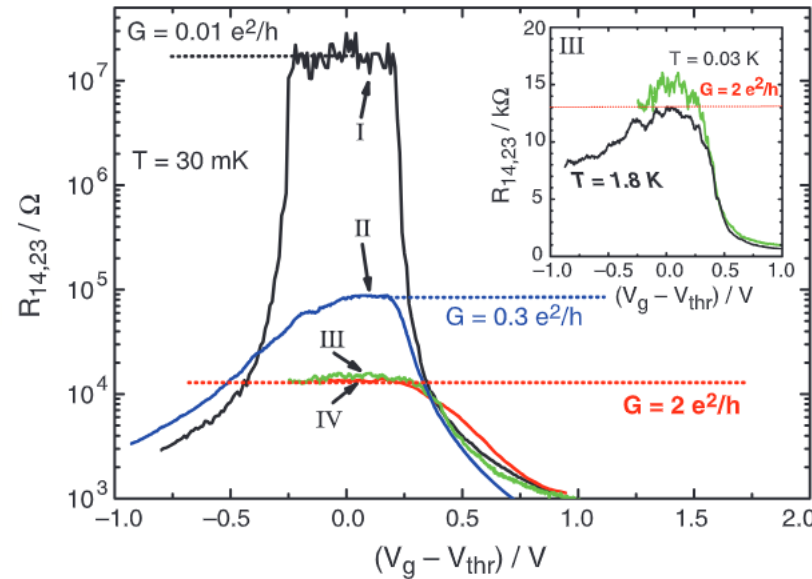
스핀-궤도 결합은 자기장보다 매우 세기가 강하다. -> 상온 양자홀효과

HgTe quantum well

➤ Bernevig-Hughes Zhang model



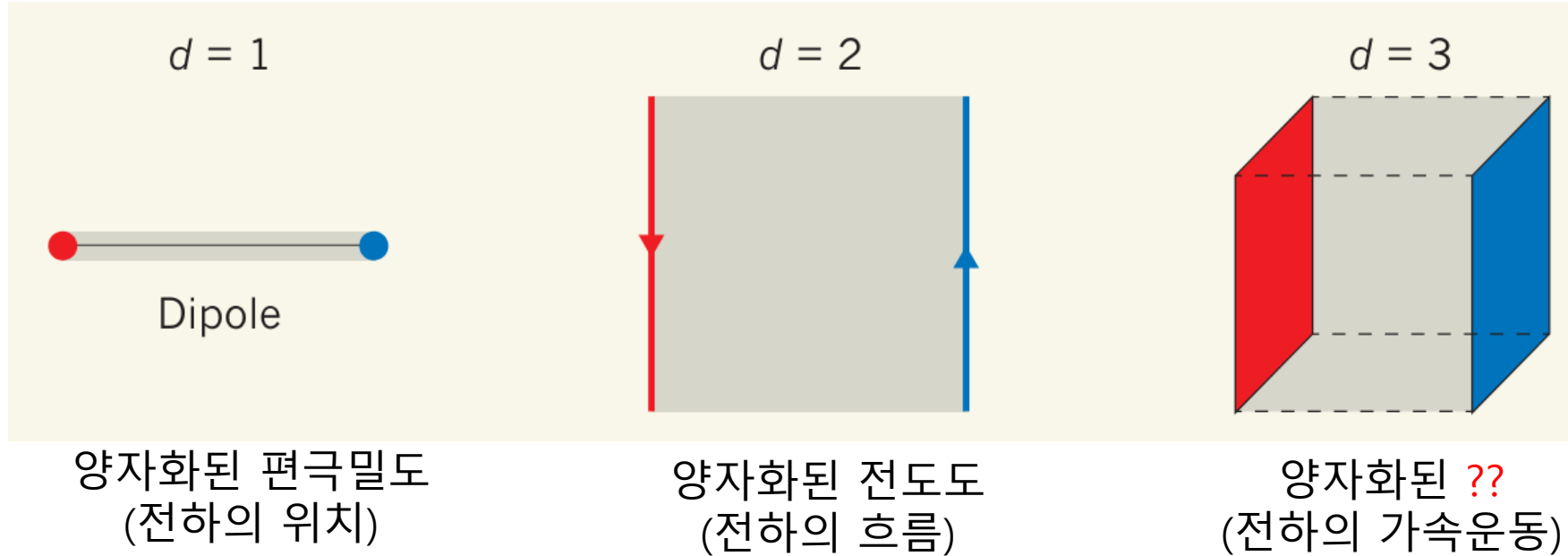
Schematic of the spin-polarized edge channels in a quantum spin Hall insulator.



3D TI

3차원 위상 절연체

시간-반전 대칭 3차원 위상 절연체는 존재할까?



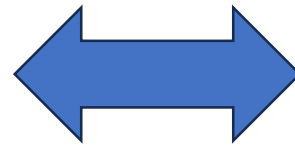
빛-물질 상호작용

$$\nabla \cdot \mathbf{E} = \frac{\rho}{\epsilon_0}$$

$$\nabla \cdot \mathbf{B} = 0$$

$$\nabla \times \mathbf{E} = -\frac{\partial \mathbf{B}}{\partial t}$$

$$\nabla \times \mathbf{B} = \mu_0 \left(\mathbf{J} + \epsilon_0 \frac{\partial \mathbf{E}}{\partial t} \right)$$



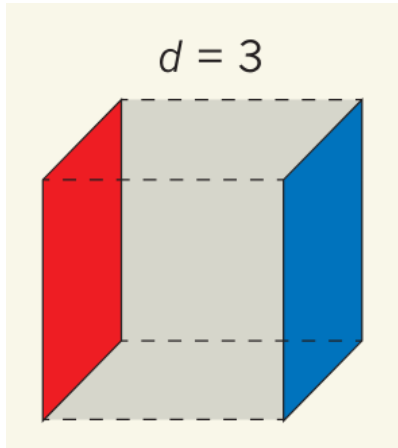
$$\mathcal{L} = E^2 - B^2$$

Axion Electromagnetism

➤ Axion E&M

$$\mathcal{L} = E^2 - B^2 + \frac{\theta(x, t)}{2\pi} E \cdot B$$

가상의 입자 Axion을 가정하자



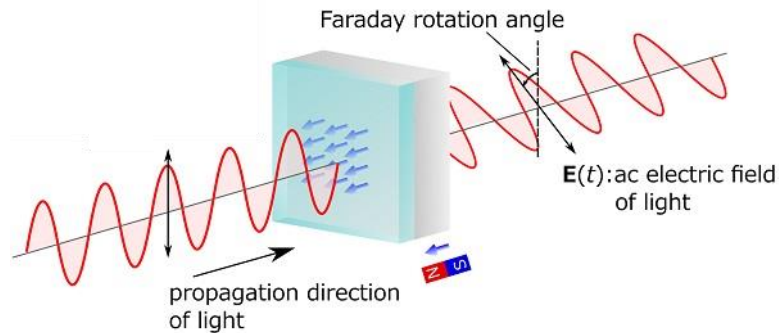
양자화된 ??
(전하의 가속운동)

$$\begin{aligned} \nabla \cdot \mathbf{E} &= \frac{\rho}{\epsilon_0} \\ \nabla \cdot \mathbf{B} &= 0 \\ \nabla \times \mathbf{E} &= -\frac{\partial \mathbf{B}}{\partial t} \\ \nabla \times \mathbf{B} &= \mu_0 \left(\mathbf{J} + \epsilon_0 \frac{\partial \mathbf{E}}{\partial t} \right) \end{aligned}$$

가우스 법칙, 암페어 법칙 변환

$$\begin{aligned} \nabla \cdot \mathbf{E} &= \frac{\rho}{\epsilon_0} - 2c\alpha \nabla \left(\frac{\theta}{2\pi} \right) \cdot \mathbf{B} \\ \nabla \times \mathbf{B} &= \mu_0 \mathbf{J} + \frac{1}{c^2} \frac{\partial \mathbf{E}}{\partial t} + \frac{2\alpha}{c} \nabla \left(\frac{\theta}{2\pi} \right) \times \mathbf{E} \end{aligned}$$

$$\begin{aligned} \mathbf{D} &= \epsilon \mathbf{E} - \frac{\alpha \Theta}{\pi} \mathbf{B}, \\ \mathbf{H} &= \mathbf{B} + \frac{\alpha \Theta}{\pi} \mathbf{E}. \end{aligned}$$



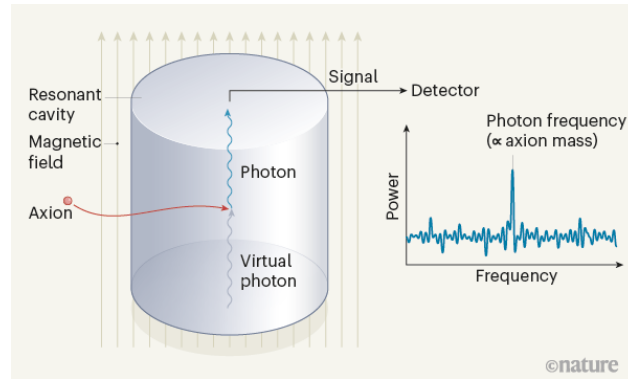
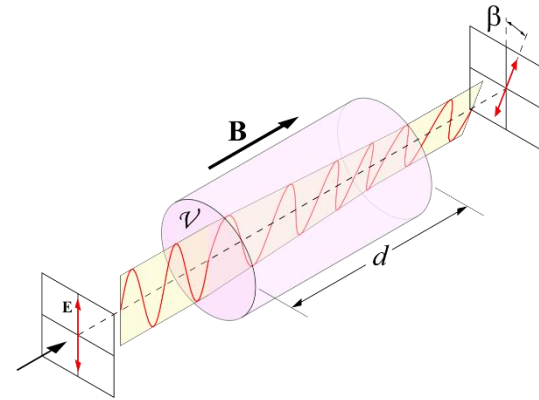
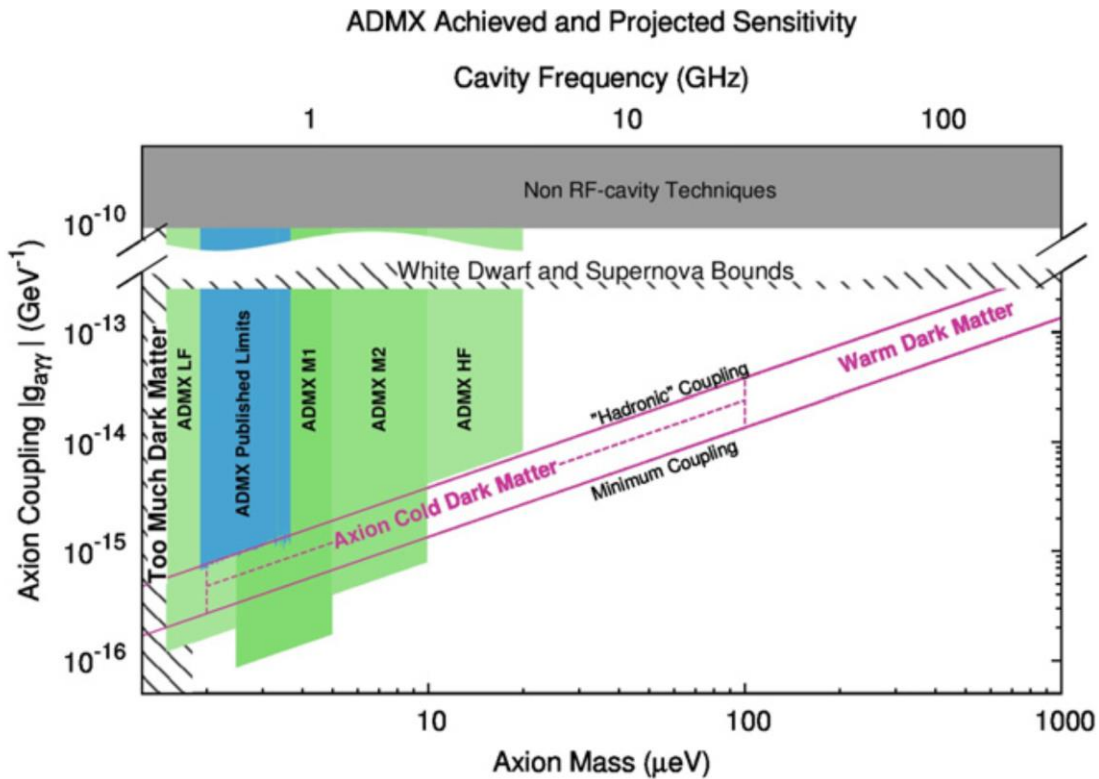
엑시온의 존재를 페러데이, 커 회전으로 검출할 수 있다.

Axion E&M

➤ 암흑물질 후보로서의 엑시온

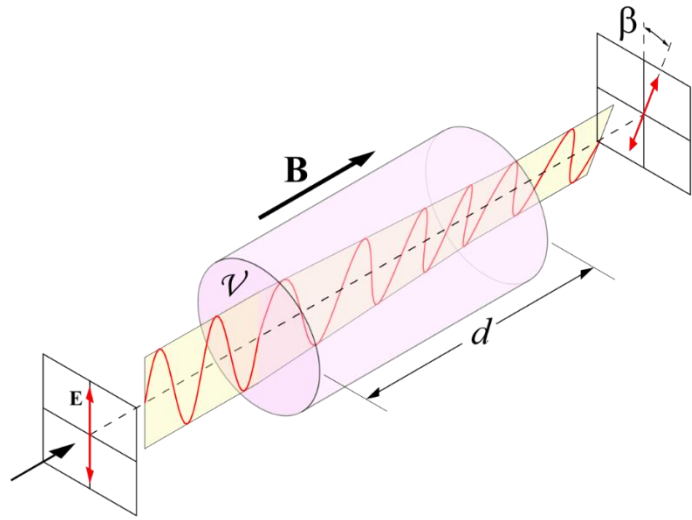
$$\mathcal{L} = E^2 - B^2 + \frac{\theta(x, t)}{2\pi} E \cdot B$$

➤ 엑시온-암흑물질 검출기

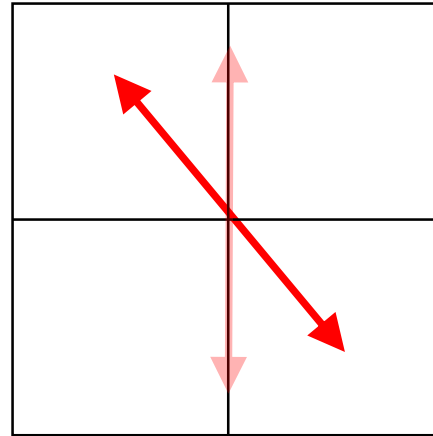


3차원 위상 절연체

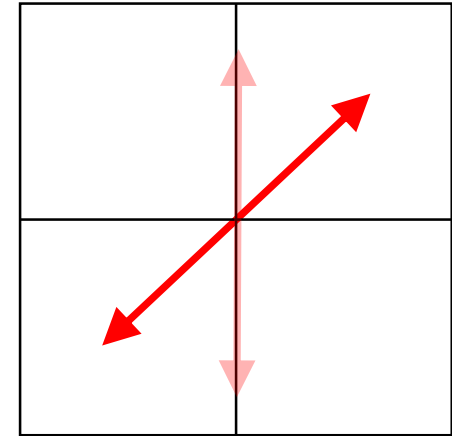
➤ 패러데이 회전과 Axion-field와의 관계



$(\theta > 0)$



$(\theta < 0)$



➤ 물질내부의 Axion-field

$$\tan(\phi_F) = \frac{2\alpha}{1+n} \left(N_t + \frac{1}{2} + N_b + \frac{1}{2} \right)$$

$$\tan(\phi_K) = \frac{4n\alpha}{n^2-1} \left(N_t + \frac{1}{2} + N_b + \frac{1}{2} \right)$$

$\theta = 0$

$\theta = \text{Arbitrary const}$

$\theta = \pi$



시간반전 대칭 일반절연체

시간반전 깨짐 자성절연체

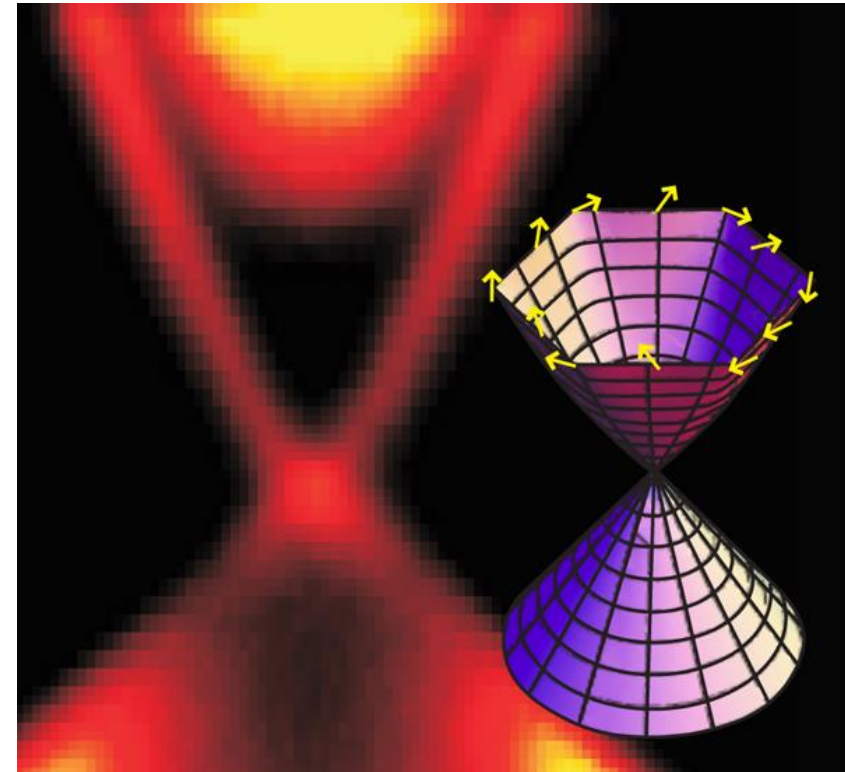
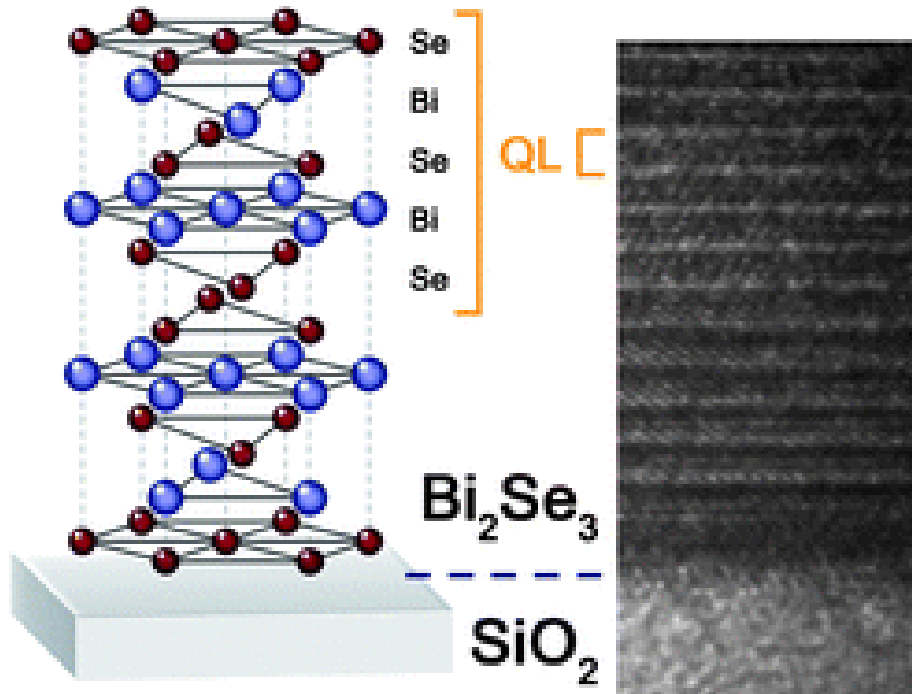
시간반전 대칭 위상절연체

3차원 위상 절연체는 Axion field가 최대화 되는 물질이다 ($\theta = \pi$)

3차원 위상 절연체

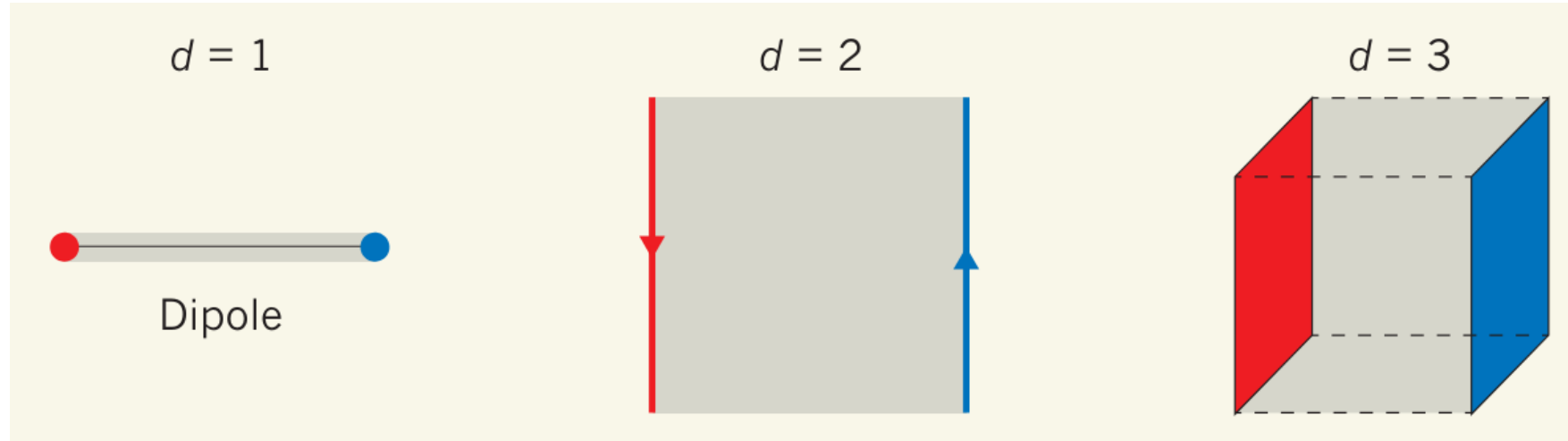
➤ Bi_2Se_3 , Bi_2Te_3 (강한-스핀궤도 결합)

➤ 위상학적 겹면 상태 (디랙콘)

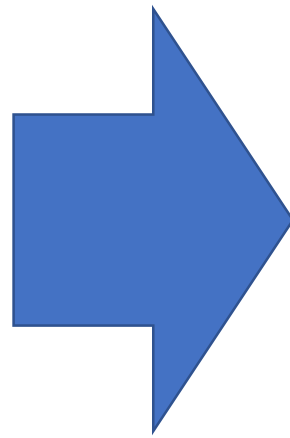


3차원 위상 절연체는 한 개의 디랙 콘을 가지는 겹면상태가 있다.

Summary



- **1D TI**
- **2D TI**
- **3D TI**



- 양자화된 편극밀도
- 양자화된 홀전도도
- 양자화된 자기광 패러데이/커 효과

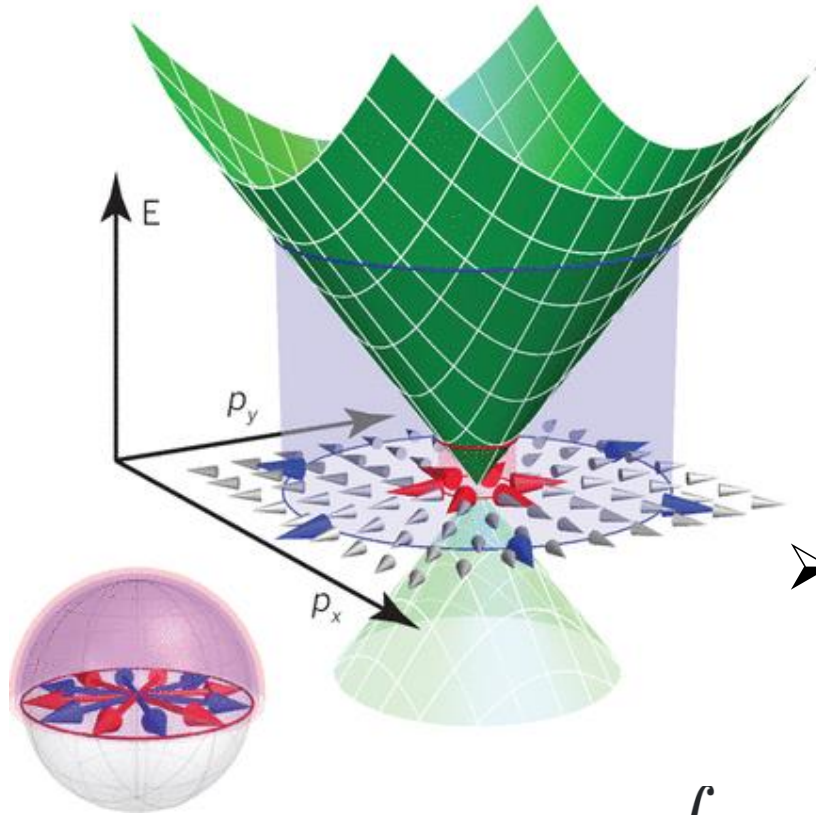
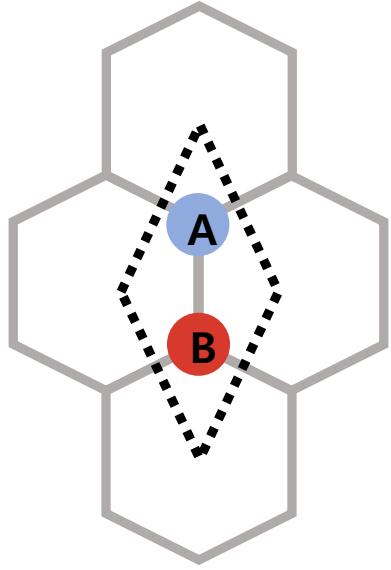
위상학적 준금속

Berry Phase of Graphene

➤ Berry phase of graphene

➤ π – Berry phase

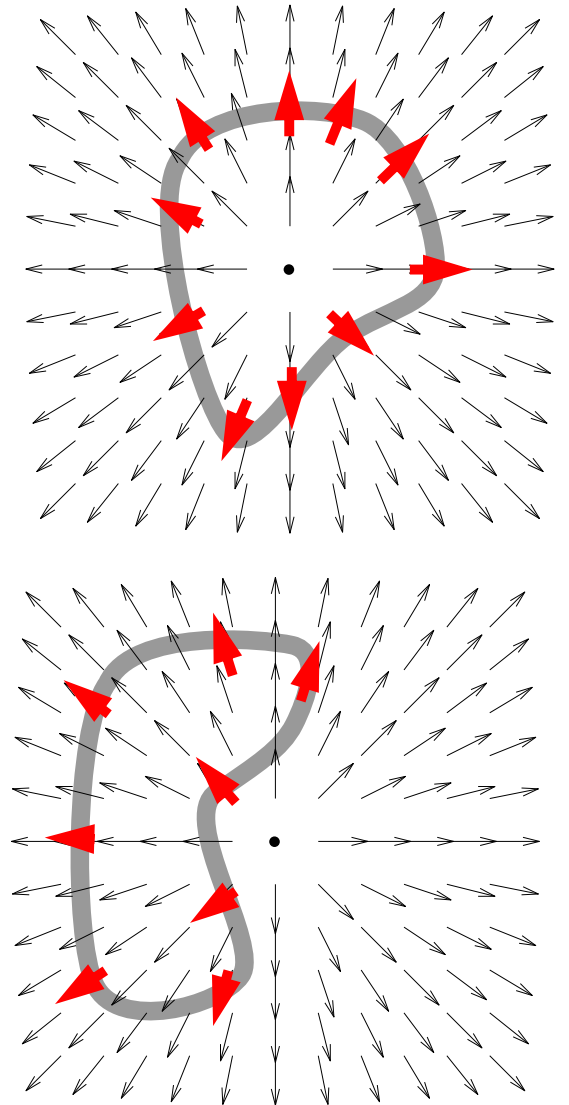
Pseudo-spin



➤ 0 – Berry phase

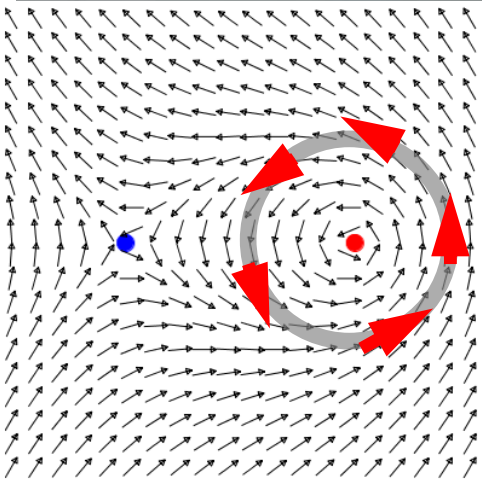
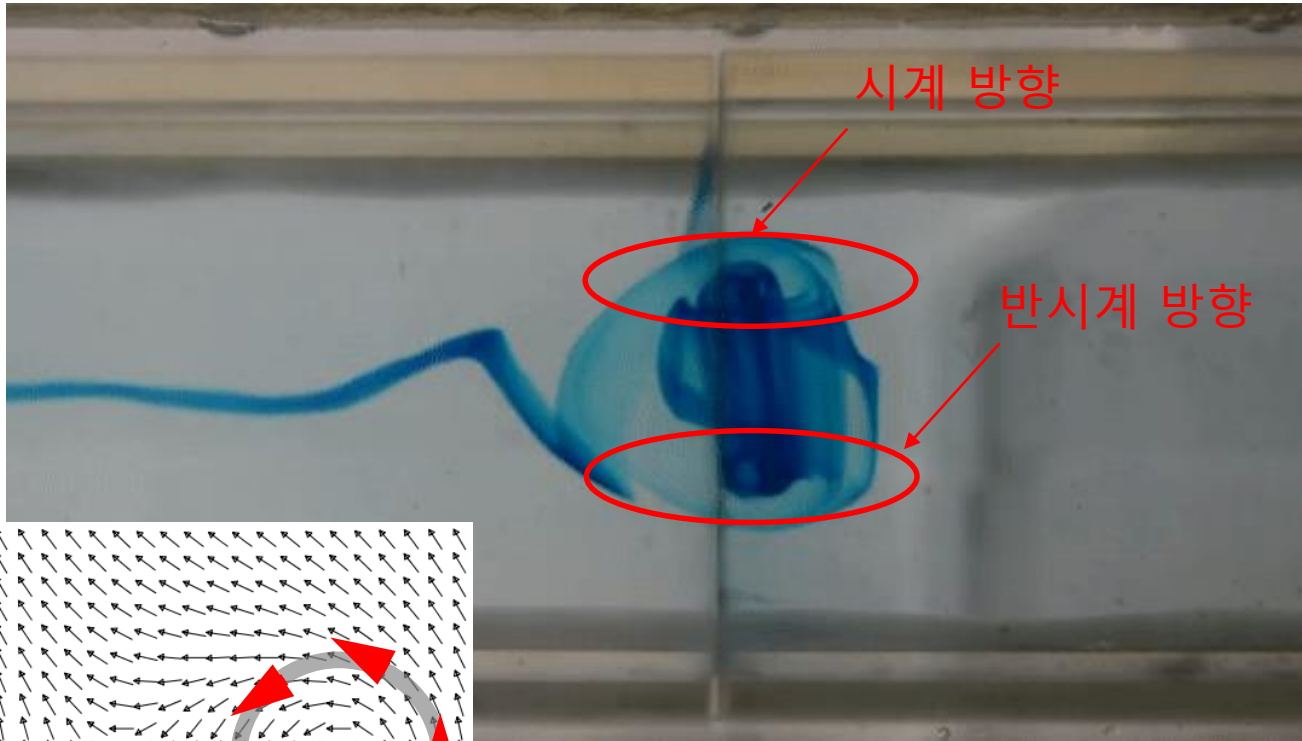
$$\gamma_n(t) = i \int_C \langle \psi_n | \nabla_R \psi_n \rangle \cdot d\vec{R}$$

디랙 콘을 가지는 겹면상태가 있다.

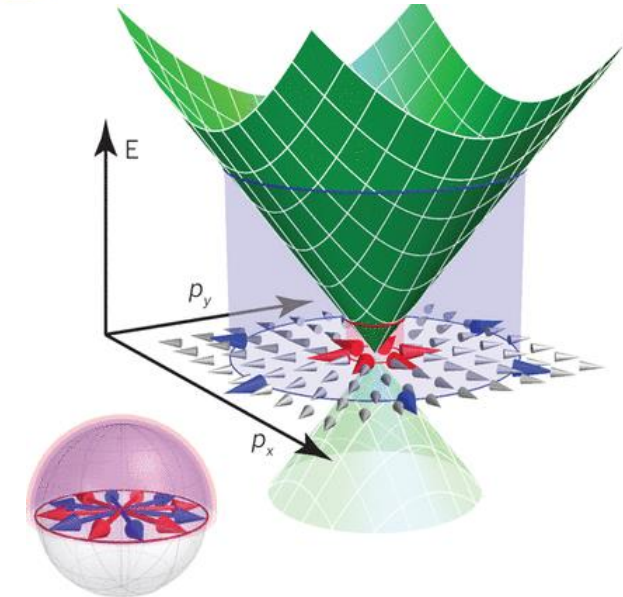
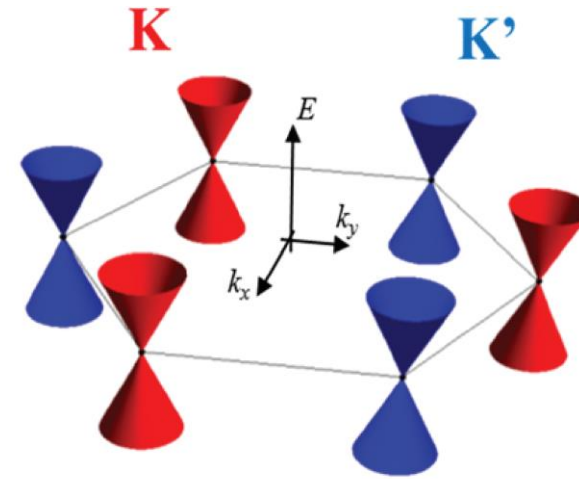


Vortex

➤ Vortex as a pair



➤ Dirac cone as vortex core

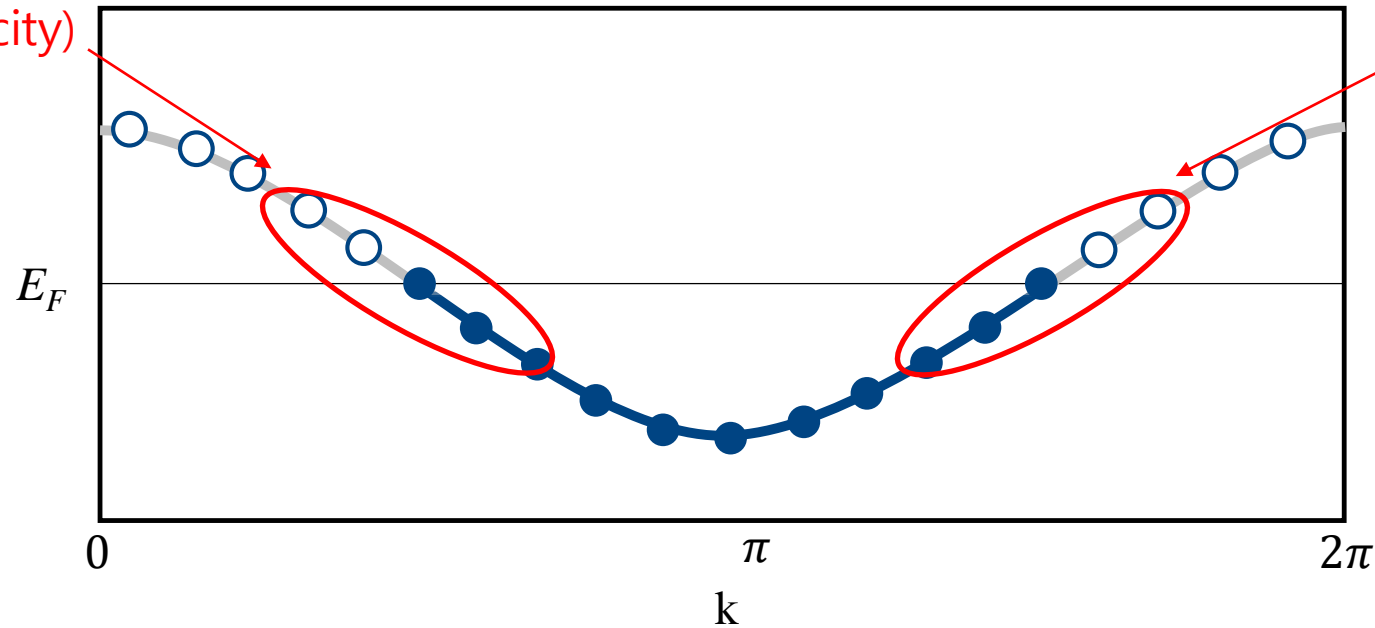


그래핀의 디랙콘은 항상 짝수개로 존재한다.

페르미온 더블링 문제

- Nielsen Ninomiya 노고 정리 (fermion doubling) : In odd-space dimension, any lattice regularized theory must have even-numbers of chiral fermions.

Left-moving fermion
(negative group velocity)



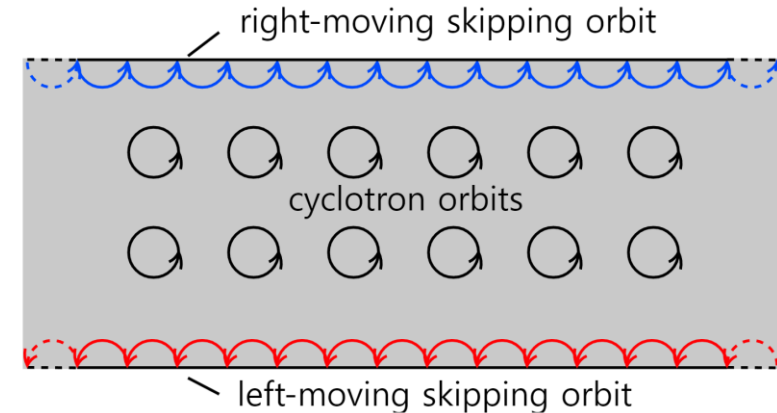
Right-moving fermion
(positive group velocity)

Anything goes up must goes down!

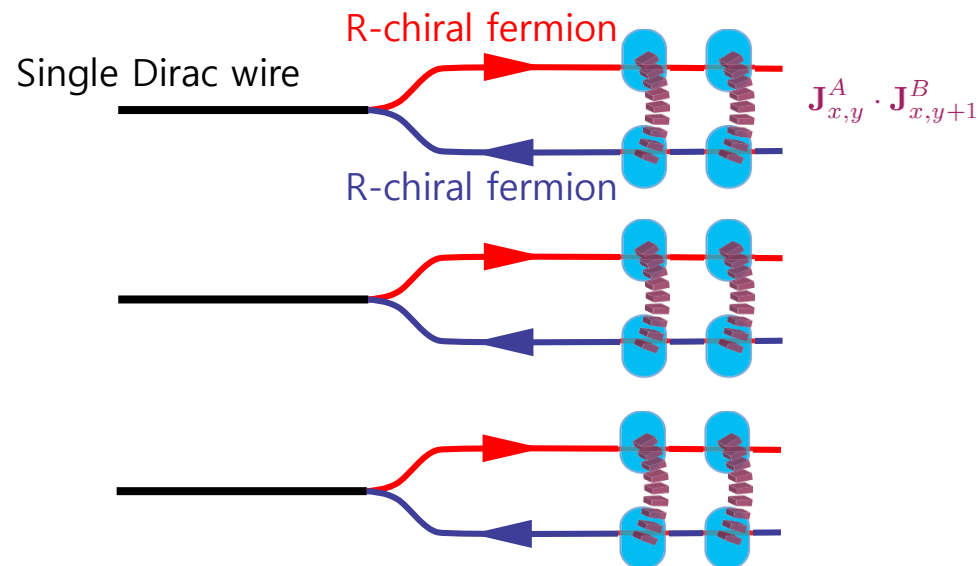
Violation of NN theorem

So far.. Known way of avoiding NN theorem is to introduce..

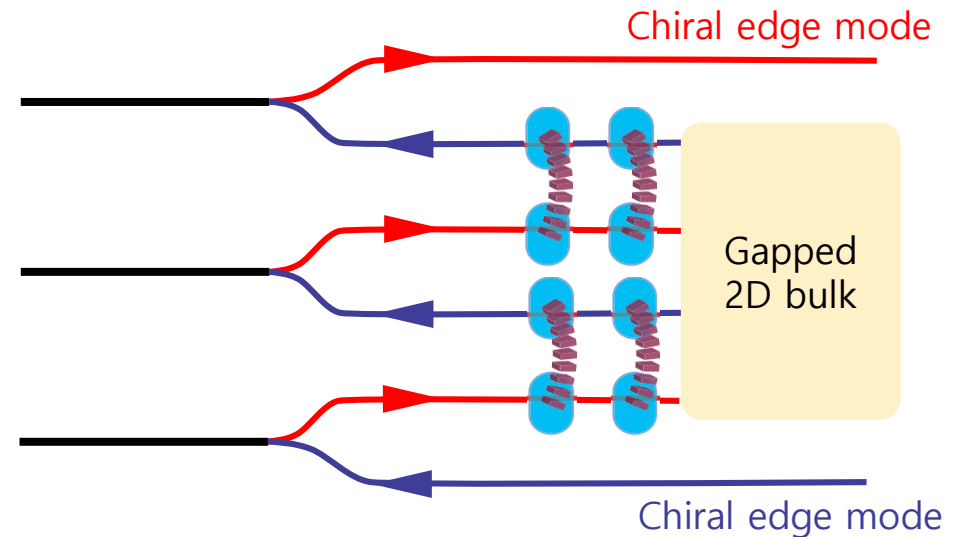
- ❖ Non-locality
- ❖ Non-Hermiticity
- ❖ Embedding on higher-dimensions
(Topological insulators)



➤ Intra-wire coupling (trivial)

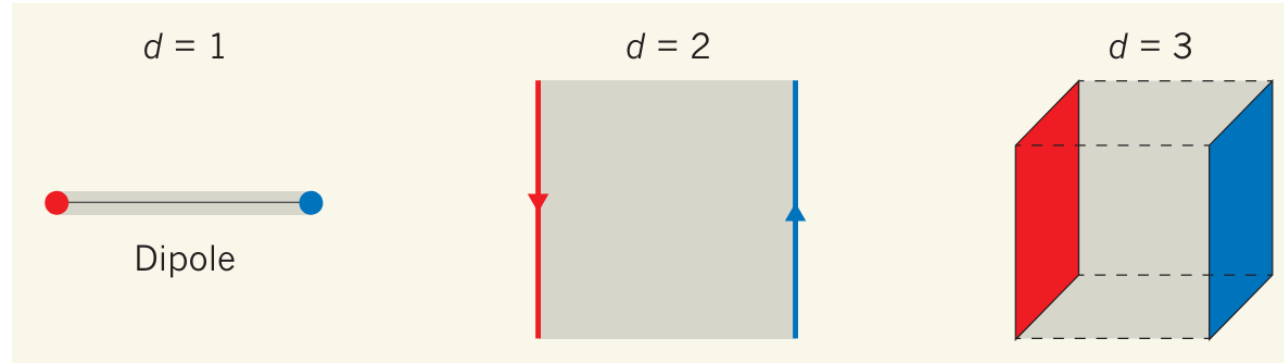


➤ Inter-wire coupling (Non-trivial)



분수화된 양자홀 효과

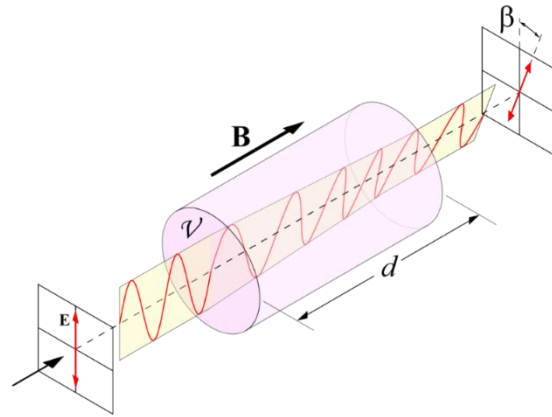
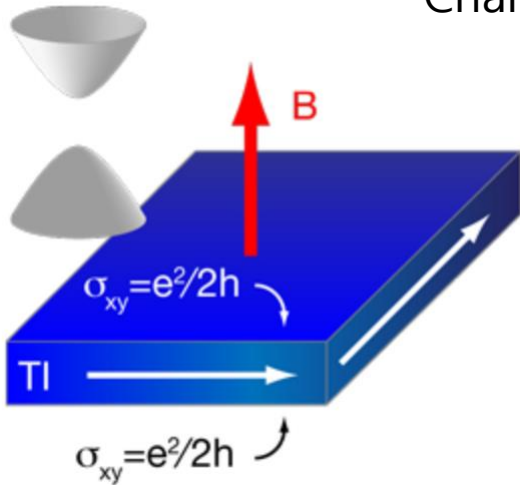
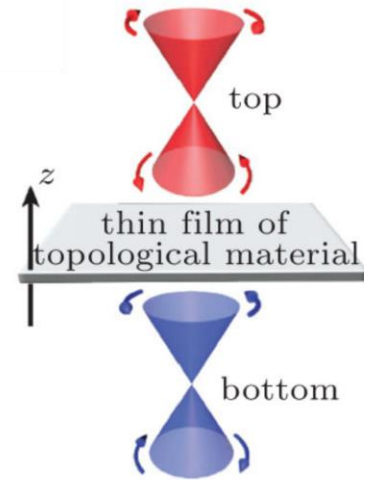
Fractionalization in physical degree of freedom



Charge의 분수화

Chirality의 분수화

Helicity의 분수화



$$\tan(\phi_F) = \frac{2\alpha}{1+n} \left(N_t + \frac{1}{2} + N_b + \frac{1}{2} \right)$$

3D TI의 한 면의 한 개의 디랙콘은 분수화된 양자홀 효과를 만든다.

위상학적 물질의 분류

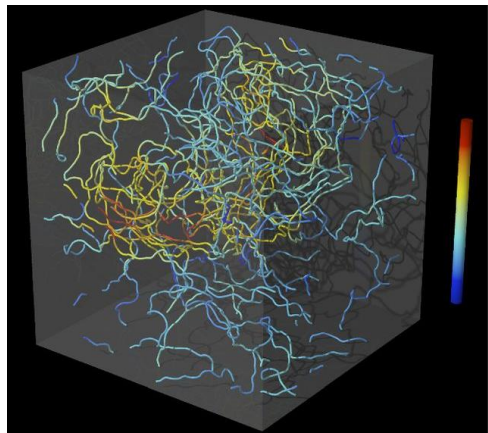
General considerations

➤ Generalization to various dimensions

	d=1	d=2	d=3
D=0			
D=1			
D=2			

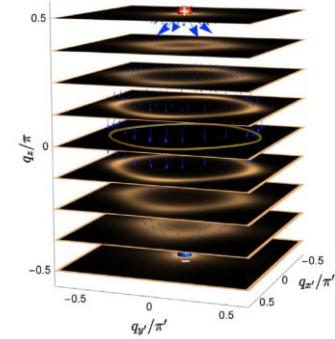
Teo-Kane

Quantum turbulence



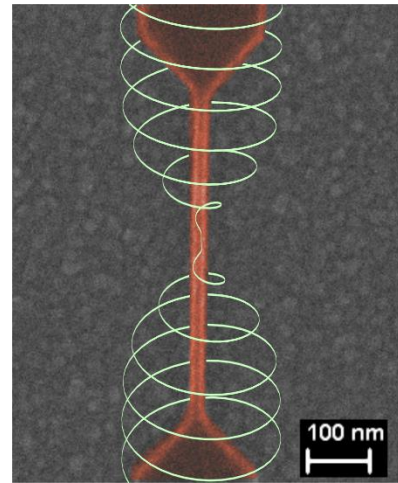
Baggaley group

Weyl fermion

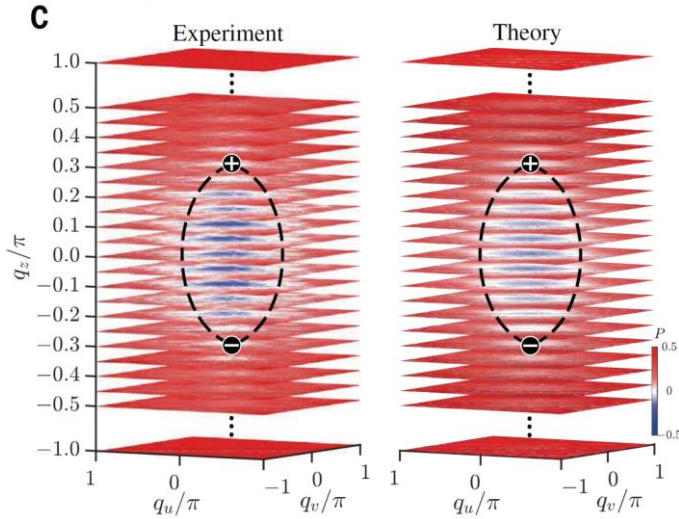


Liu, Pan group

SC phase slip



Johannes Rotzinger group



General considerations

➤ Generalization to various dimensions

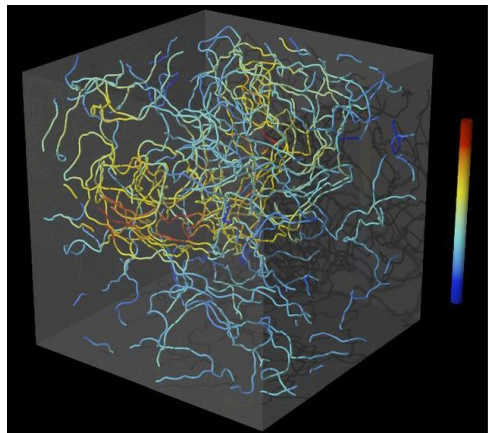
	d=1			d=2			d=3		
--	-----	--	--	-----	--	--	-----	--	--

Class	T	C	S	0	δ						
					1	2	3	4	5	6	7
A	0	0	0	\mathbb{Z}	0	\mathbb{Z}	0	\mathbb{Z}	0	\mathbb{Z}	0
AIII	0	0	1	0	\mathbb{Z}	0	\mathbb{Z}	0	\mathbb{Z}	0	\mathbb{Z}
AI	+	0	0	\mathbb{Z}	0	0	0	$2\mathbb{Z}$	0	\mathbb{Z}_2	\mathbb{Z}_2
BDI	+	+	1	\mathbb{Z}_2	\mathbb{Z}	0	0	0	$2\mathbb{Z}$	0	\mathbb{Z}_2
D	0	+	0	\mathbb{Z}_2	\mathbb{Z}_2	\mathbb{Z}	0	0	0	$2\mathbb{Z}$	0
DIII	-	+	1	0	\mathbb{Z}_2	\mathbb{Z}_2	\mathbb{Z}	0	0	0	$2\mathbb{Z}$
AII	-	0	0	$2\mathbb{Z}$	0	\mathbb{Z}_2	\mathbb{Z}_2	\mathbb{Z}	0	0	0
CII	-	-	1	0	$2\mathbb{Z}$	0	\mathbb{Z}_2	\mathbb{Z}_2	\mathbb{Z}	0	0
C	0	-	0	0	0	$2\mathbb{Z}$	0	\mathbb{Z}_2	\mathbb{Z}_2	\mathbb{Z}	0
CI	+	-	1	0	0	0	$2\mathbb{Z}$	0	\mathbb{Z}_2	\mathbb{Z}_2	\mathbb{Z}



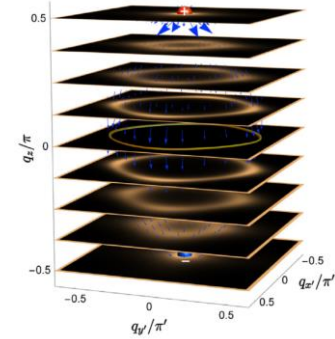
Teo-Kane

Quantum turbulence



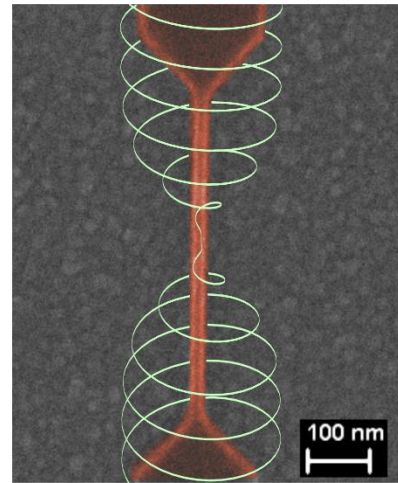
Baggaley group

Weyl fermion



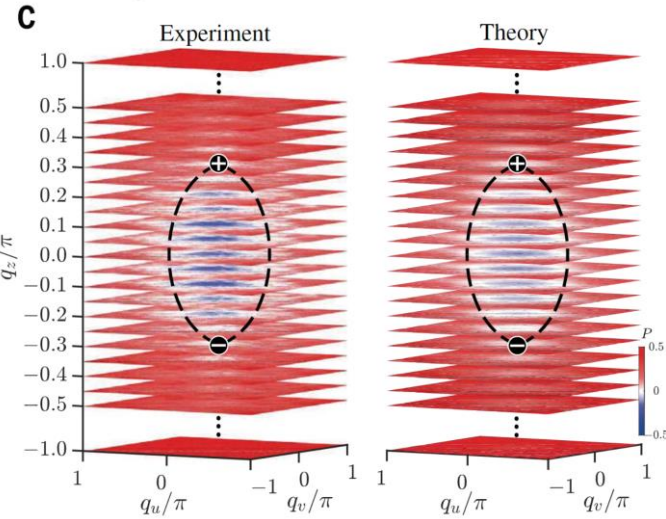
Liu, Pan group

SC phase slip

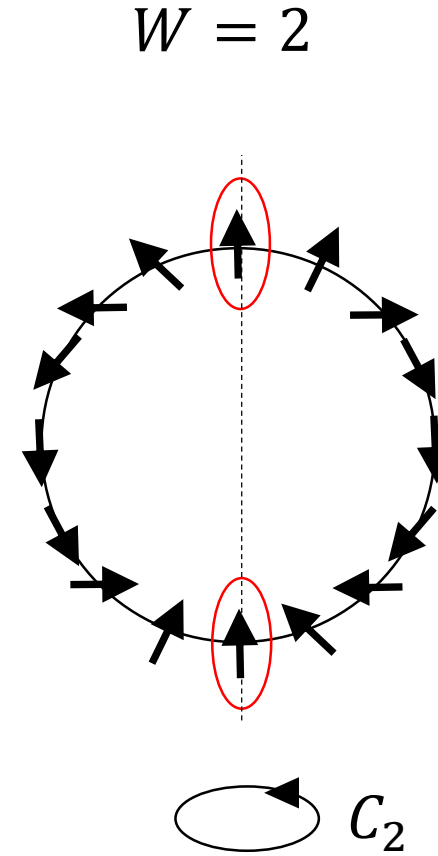
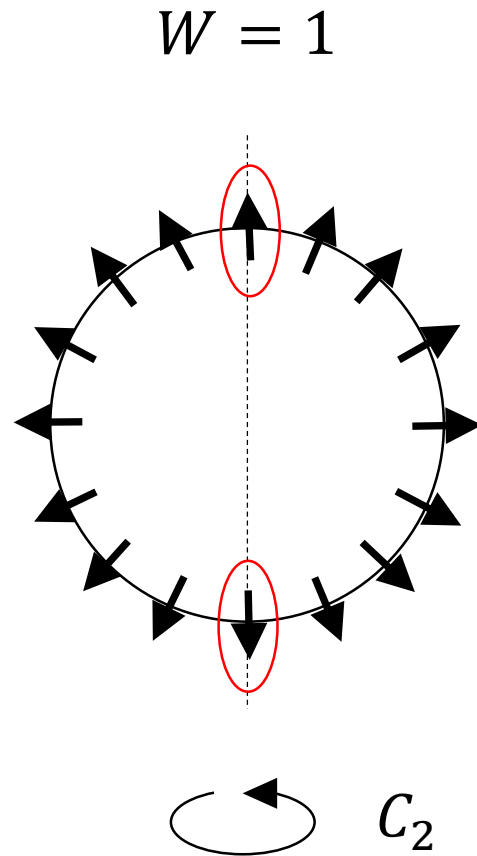


100 nm

Johannes Rotzinger group




Symmetry indicator



공간 대칭성이 있다면 한 개의 점만으로 위상이 결정된다.

Summary

- 1D TI
 - 2D TI
 - 3D TI
 - TSM
- 
- 양자화된 편극밀도
 - 양자화된 홀전도도
 - 양자화된 자기광 패러데이/커 효과
 - 양자 아노말리



Out of 26938 stoichiometric materials, 3307 topological insulators and 4078 topological semimetals and 0 fragile phases were found . For these 7385 materials the electronic bands structure – in-